

مدل‌سازی تحلیلی از فرآیند بیولوژیکینگ توده‌ای (فروشوبی، زیستی)

^۲مهدي يعقوبي مقدم؛ سيد ضياء الدين شفائي تنكابني^{۳*}؛ محمد نوعيرست^۴؛ فرامرز دولتي اردهجانی^۵

۱- دکتر امیر مهندسی، معدن، پردیس، دانشگاه تهران، تهران، ایران: M_yaghobi@ut.ac.ir

۲- استاد دانشکده مهندسی، معدن، پرداز، دانشگاه تهران، تهران، ایران: zshafaie@ut.ac.ir

(دریافت ۱۷ خرداد ۱۳۹۴، پذیرش ۱۵ دی ۱۳۹۵)

چکیده

در این مقاله، شبیه‌سازی فرآیند لیچینگ باکتریایی توده‌ای و ارزیابی تحلیلی فرآیندهای درگیر در شرایط ناپایا از طریق مدل‌های تحلیلی برای کانسنسگ کم‌عیار مس بسط و گسترش داده شده است. المان انتگرالی تعریف شده عبارت است از واحد حجم توده که شامل فاز جامد (با توزیع اندازه ذرات کانسنسگ)، فاز مایع (محلول شسته شده ساکن و جاری حاوی مواد حل شده و باکتری‌های چسبیده و معلق) و فاز گاز (جریان هوا و حباب‌های هوای موجود در منافذ) است. فرآیندهای نفوذ و واکنش در مدل پیشنهادی شامل توزیع اندازه ذرات کانسنسگ، چسبیدن و عدم چسبیدن باکتری‌ها و فرآیندهای اکسایش و انتقال اجزاء شیمیایی و باکتریایی به داخل و خارج المان می‌باشد. با برنامه‌نویسی در محیط نرم افزار پایتون از روش سیمپسون برای حل مدل‌های موجود استفاده شد. درستی نتایج بهوسیله بررسی موازنۀ جرم در پایان شبیه‌سازی تأیید شد. اعتبارسنجی نتایج با مدل پولز و مدل شبیه‌سازی واکنشی پیریت به کمک نرم‌افزار فینیکس بررسی گردید. ذرات کانسنسگ در سه کلاس اندازه به شعاع‌های ۰، ۱mm و ۱,۵mm با درصد‌های وزنی به ترتیب ۴۵٪، ۲۵٪ و ۲۰٪ درصد طبقه‌بندی شدند. حداکثر خطای نسبی در محاسبات موازنۀ جرم در تمام شبیه‌سازی‌ها کمتر از ۷٪ درصد بود. نتایج نشان داد که سینتیک انحلال کالکوسیت از کوولیت و کوولیت از پیریت بیشتر است. برای حالت باکتریایی، میزان انحلال کالکوسیت در اندازه شعاع ذرات ۰،۱mm، ۰،۷۵mm و ۱,۵mm به ترتیب ۱۰۰٪ (بعد از ۳۸ روز)، ۱۰۰٪ (بعد از ۱۱۰ روز)، و ۸۷٪ (بعد از ۱۶۰ روز) بدست آمد. در مورد کوولیت، برای اندازه ذرات مذکور در طی ۱۶۰ روز درصد انحلال به ترتیب ۶۰٪، ۳۵٪ و ۱۸٪ حاصل شد. میزان انحلال پیریت نیز ۳۳٪، ۲۴٪ و ۱۴٪ درصد محاسبه گردید. همچنین، آنالیز حساسیت برای عوامل دما و توزیع اندازه ذرات انجام شد. نتایج شبیه‌سازی روند صحیحی، با در نظر گرفتن توزیع اندازه ذرات در بازیابی مس، از خود نشان دادند.

كلمات كليدي

لیجنگ باکتریا، توده‌ای، شیبه‌سازی، از طریق مدل‌سازی دیاضاتی، فرآیند المان انتگراله، دوش، سیمیسون، کانسنگ کم‌عیار می‌باشد.

۱. مقدمه

برخی از این مدل‌ها بر پدیده انتقال در مقیاس توده‌ای^۷ تاکید بیشتری نسبت به پدیده‌های در مقیاس میکرو از قبیل رشد باکتریایی و سینتیک اکسایش و انتقال با فرآیند نفوذ در فاز ساکن دارند. تعداد بسیار کمی از این مدل‌ها مشخصات پارامتری قابل انعطافی را دارند که مورد نیاز برای دربرگیری تمام پدیده‌های احتمالی محدود کننده یک هیپ خاص است.

این مقاله، به بررسی یک مدل دقیق توسعه داده شده می‌پردازد که علاوه بر هیدرولوژی هیپ و دیگر فرآیندهای بزرگ مقیاس، دینامیک باکتریایی و انتقال نفوذی را نیز بررسی قرار می‌کند. هدف این مقاله، بسط و توسعه مدل‌های حاکم بر فرآیند لیچینگ باکتریایی و انتقال نفوذی را باشند که با نگاه و زاویه دید در مقیاس گروه ذرات مدل‌سازی صورت گرفته است. این مقیاس، مقیاسی حد واسط است که علاوه بر داشتن پارامترهای مقیاس توده و همچنین مقیاس ذره؛ معایب این دو مقیاس را ندارد. به عبارت دیگر، مدل موجود کلی تر می‌باشد که توان شبیه‌سازی دقیق‌تر از فرآیند لیچینگ باکتریایی توده‌ای را دارد. مبنای مدل‌سازی معادلات دیفرانسیلی با مشتقات جزئی است که در سطح ذره نفوذ و واکنش شیمیایی و باکتریایی را مدل می‌کند. همچنین، در فصل مشترک ذره با سیال در مقیاس بزرگتر حرکت کلی سیال را مدل کرده که در تماس با مواد واکنش داده شده قرار می‌گیرد. به عبارتی بهتر، در شرایط مرزی معادله نفوذ-واکنش یک دستگاه کوپل برای پدیده پهنرفت حاکم می-شود که مدل‌سازی بسیار پیچیده‌ای را بیان می‌دارد. معادلات حاصله به روش سیمپسون حل شده‌اند. با حل چنین معادلاتی می‌توان تأثیر عوامل مؤثر بر فرآیند را تعیین کرد. این مدل واکنش‌های شیمیایی مربوط به لیچینگ کانستگ‌های کالکوسیت، کوولیت و پیریت را شامل می‌شود که به طور ساده با شرایط لیچینگ دیگر کانی‌ها قابل انطباق است.

به منظور دستیابی به عملیات سودده و اقتصادی لیچینگ باکتریایی توده‌ای نیاز به طراحی هیپ‌های پربازد (کارا) است. برای این منظور، مطالعه و درک فرآیندهای درگیر در توده ضرورت دارد. مدل‌سازی ریاضیاتی یک گام بسیار مهم در درک ماهیت و سازکار فرآیندهای لیچینگ بیولوژیکی توده‌ای است. لیچینگ باکتریایی توده‌ای یک اندرکنش پیچیده بین فرآیندهای انتقال و واکنش‌های شیمیایی است که در فازهای جامد، مایع و گاز اتفاق می‌افتد. این فرآیندها شامل انتقال پهنرفت و نفوذ در فاز مایع، پهنرفت فاز گاز، تولید و انتقال حرارت، انحلال کانستگ و واکنش‌های شیمیایی باکتریایی است. تحقیقات علمی دامپ و لیچینگ توده‌ای به سمت توسعه مدل‌های ریاضیاتی سوق داده شده است که برخی از مهم‌ترین آن‌ها در مباحث مدل‌سازی در لیچینگ باکتریایی توده‌ای در جدول ۱ ارائه شده است و رویکردهای مدل‌سازی از بستر کانسنگ مرور می‌شود. همچنین، تحقیقات برخی از آن‌ها تا سال ۲۰۰۳ در مرجع [۱] مرور و مقایسه شده‌اند. عملیات لیچینگ باکتریایی توده‌ای موضوع بسیاری از تحقیقات انجام گرفته در زمینه استحصال فلز در سال‌های اخیر بوده است. در این راستا، محققین بسیاری کوشش کرده‌اند تا به بررسی پدیده‌های مهم این فرآیند پرداخته و با مدل‌سازی ریاضیاتی این عملیات که می‌تواند چشم‌اندازهای جالبی برای اهداف طراحی مهیا سازد را شبیه‌سازی کنند.

با توجه به جدول ۱، مدل‌ها به مرور زمان تکامل یافته‌اند. این تکامل هم در نوع مدل‌سازی و هم در فرآیندهای درگیر در مدل‌سازی، المان مدل و روش حل بوده است. مدل بیان شده در این مقاله در مقیاس مدل‌سازی حد واسط بوده است که نقص‌های مدل‌سازی بزرگ مقیاس و مدل‌سازی کوچک مقیاس را ندارد. در عین حال، مزیت این مقیاس این است که پدیده‌های هر دو مقیاس بزرگ و کوچک را می‌تواند در خود داشته باشد و پدیده‌های هر دو مقیاس را هم توصیف کند. مؤثر بودن لیچینگ باکتریایی تا حد زیادی به کارآیی میکروارگانیزم‌ها و ترکیب شیمیایی و کانی‌شناسی کانسنگ بستگی دارد [۱] و بیشترین کارآیی زمانی حاصل می‌شود که شرایط لیچینگ با شرایط بهینه رشد باکتری مطابقت داشته باشد. عوامل مؤثر در اکسایش باکتریایی برای استخراج فلزات در جدول ۲ آورده شده است.

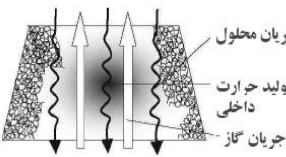
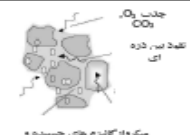
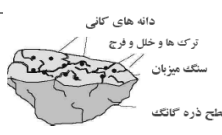
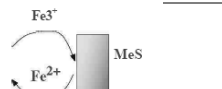
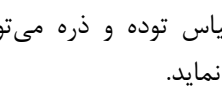
جدول ۱: مدل‌های لیچینگ (باکتریایی) توده‌ای موجود

نام محقق و منبع	موضوع مدل‌سازی	روش حل	کاستی‌های مدل
کسلس و اپس [۲]	اولین مدل ساده در مقیاس توده از دامپ	-	بسیار ساده
ریچی و همکاران [۶-۳]	توسعه مدل کسلس و اپس	لاپلاس	مدل‌سازی مقدماتی
بارتلت و همکاران [۷]	توسعه مدل کسلس و اپس	-	قابل تعیین نبودن
هیندریکس و دیکسون [۸-۱۱]	مدل‌سازی سینتیکی مرتبه اول و خلقتابع Φ برای کانسنگ‌های مختلف صرفاً لیچینگ	سیمپسون	ساده‌سازی واکنشی-حرارتی زیاد
کاساس و همکاران [۱۲؛ ۱۳]	مدل‌سازی چند مولفه‌ای همزمان	تفاضل محدود	عدم در نظر گرفتن تغییرات توده در حین مدل‌سازی
پترسون و همکاران [۱۴-۱۷]	مدل‌سازی فرآیند بیولیچینگ روی و کاربرد تابع Φ برای کانسنگ روی	سیمپسون	صرفاً پوشش سینتیک مرتبه اول
شیخزاده و همکاران [۱۸]	مدل‌سازی براساس معادله انتقال سیال در محیط اشباع و معادله اساسی دارسی صرفاً لیچینگ	تفاضل محدود به الگوریتم کمک توامان	عدم پوشش جریان ریجاردن
لهی و همکاران [۲۱]	مدل‌سازی انتقال هوا در توده	دینامیک سیالات محاسباتی	عدم فرض صحیح تغییرات دما
بوفورد و همکاران [۲۲-۲۴]	مدل‌سازی فرآیند بایوسن و کاربرد تابع Φ برای کانسنگ طلا و کاربرد نرم افزار هیپسیم روی داده‌های موجود	سیمپسون	عدم مدل‌سازی ترسیب در حین فرآیند
وبلکاز و همکارش [۲۵]	مدل‌سازی سینتیکی لیچینگ باکتریایی کالکوپیریت با باکتری‌های ترموفیلی مشابه کار بوفورد و با نگاه معادله‌های الکتروشیمی فرآیند	-	عدم بررسی برهم‌کنش‌های فرآیندی
مک براید و همکاران [۲۶-۲۹]	مدل‌سازی انگرالی حجم محدودی صرفاً لیچینگ	دینامیک سیالات محاسباتی	عدم بررسی تمام واکنش‌های درگیر
ملادو و همکاران [۳۰-۳۵]	مدل‌سازی سینتیکی بر مبنای ثابت سینتیک و بازیابی بینهایت و گسترش آن به صورت تحلیلی صرفاً لیچینگ	ویژال	خروج از مدل‌سازی دیفرانسیلی و روی آوردن به مدل‌های آماری
زمبرا، موناز و همکاران [۳۶]	مدل سه‌بعدی کوپل شده همرفت و نفوذ برای انتقال جرم و حرارت در اطراف توده		عدم کامل بودن مدل واکنشی
یعقوبی مقدم و همکاران [۳۷-۳۹]	مدل‌سازی تحلیلی توسعه یافته از معادله‌های نفوذ، پهنرفت، واکنش با مرتبه‌های متفاوت، مدل سینتیکی و مدل باکتریایی در فرآیند لیچینگ باکتریایی توده‌ای	تابع نمایی، شوتینگ، هموتوروپی، پرتریپیشن، سیمپسون وغیره	عدم بررسی مدل حرارتی طی مدل دیفرانسیلی

جدول ۲: عوامل مؤثر در اکسایش باکتریایی برای استخراج فلزات [۳۷]

عوامل مؤثر در لیچینگ باکتریایی	پارامترها
عوامل فیزیکی و شیمیایی محیط دما، اسیدیته، پتانسیل اکسایش- کاهش، دیاکسید کربن، انتقال جرم، مواد مغذی، فشار، کشش سطحی، غلظت یون آهن دوظرفیتی، مواد ممانعت‌کننده لیچینگ	
نوع باکتری، جمعیت و توزیع میکروارگانیزمها، فعالیت باکتری‌ها، قابلیت سازگاری میکروارگانیزمها با محیط، مقاومت در برابر فلزات	عوامل زیستی محیط لیچینگ
نوع کانه، ترکیب شیمیایی کانه، اندازه ذرات، سطح کانه، تخلخل، درجه آزادی، واکنش‌های گالوانیکی، ساختار کانه، آبگریزی کانه، تشکیل کانه ثانویه	ویژگی‌های کانه برای لیچینگ
روش لیچینگ (درج، توده‌ای، کپهای، مخزنی)، دانسیته پالپ، نرخ هم‌زدن (در مورد مخازن هم‌زندار)، مشخصات هندسی توده (در مورد لیچینگ کپهای)	نوع فرآیند لیچینگ

جدول ۳: نمایش الگوی زیر فرآیندهای موجود در فروشوبی باکتریایی توده‌ای [۱۶]

سطح	مقیاس توده	زیرفرآیندها	مدل مفهومی
مقیاس توده	حریان محلول از طریق بستر فشرده شده	هرفتی گاز	
مقیاس گروه ذرات	انتقال بخار آب	موازنه حرارت	
مقیاس ذره	جذب گاز	چسبیدن باکتری‌ها	
مقیاس ذره	نفوذ ذره	اکسایش باکتریایی	
مقیاس دانه	تأثیرات توپولوژیکی	نفوذ درون ذره‌ای	
مقیاس دانه	احیاء آهن سه به دو ظرفیتی	اکسایش کانی	

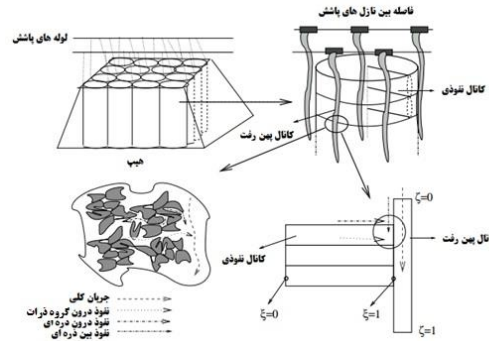
حد واسط بین مقیاس توده و ذره می‌تواند عیوب مدل‌های قدیمی‌تر را برطرف نماید.

ضعف مدل‌های قبلی در عدم جامعیت فرآیند مدل‌سازی بوده است. بدین معنا که اگر مقیاس مدل‌سازی بزرگ باشد، مدل نمی‌تواند پدیده‌های ریز مقیاس را مدل نماید و بر عکس. مدل

مدل مقیاس توده را ایجاد کند. هدف از این کار، مدل سازی تک واحد المان انتگرالی "مقیاس گروه ذرات" است. در این مقاله مدل سازی فرآیند لیچینگ باکتریایی توده ای برای پدیده های حاکم در فرآیند و در نهایت کنار هم قرار دادن معادلات و شبیه سازی به صورت مدل دستگاه معادلات دیفرانسیلی با مشتقات جزئی ارائه شده است. روش تحقیق در این مقاله براساس مدل سازی در مقیاس حد واسطه با استفاده از معادلات دیفرانسیلی با مشتقات جزئی براساس موازن ه جرم و قانون بقای جرم انجام شده است. عبارت تولید یا مصرف به صورت واکنش شیمیایی و باکتریایی اضافه می شود. واکنش های شیمیایی به صورت تغییرات میزان جزء واکنش داده نسبت به زمان در یک محیط متخلخل با چگالی مشخص است. تغییرات تبدیل کانی نسبت به زمان از حاصل ضرب ثابت نرخ آرنیوس (رابطه دما با انرژی اکتیو اسیون) وتابع غلظت (رابطه غلظت یون های آهن دو و سه ظرفیتی بر واکنش) وتابع توپولوژیکی کانسنگ برای پارامترهای کانسنگ به دست آمده است. عبارت تولید یا مصرف باکتریایی بر حسب تعداد باکتری، نرخ رشد باکتریایی (محاسبه شده از قانون مونود براساس عوامل محیطی رشد مثل اکسیژن، آهن و اسیدیته) بر حسب راندمان باکتریایی وتابع راتووسکی (رابطه دما با رشد باکتریایی) بیان شده است. روابط تولید یا مصرف شیمیایی و باکتریایی در تک ذره به صورت جمع جبری با رابطه نفوذ براساس قانون فیک اضافه شده است. به عبارت دیگر، رابطه نفوذ-واکنش در فرآیند لیچینگ باکتریایی توده ای مدل شده است. در عمل بعد از نفوذ و واکنش، اجزای واکنشی در اثر نفوذ به سطح ذره می رسدند. در سطح ذره با سیال در حال حرکت اجزای واکنشی با سیال در حال حرکت مواجه می شوند. این سطح مشترک سطح ذره با سیال در حال حرکت، شرط مرزی معادله نفوذ-واکنش است. همچنین، نرخ تغییرات باکتری های جذب شده و واجذب شده براساس ایزو ترم لانگمیور و نرخ تغییرات جمعیت باکتریایی نیز مدل شد. مدل ها به صورت همزمان با روش سیمیسون حل شد. مدل ها برای کانی های کالکو سیت، کوولیت و پیریت و اجزاء شیمیایی مس، یون آهن دو و سه ظرفیتی، اسید و اکسیژن و اجزاء باکتریایی اکسید کننده آهن حل شد. در هر مرحله حل، موازن ه جرمی کنترل شد تا موازن ه جرم برقرار باشد. کد نویسی در پایتون در محیط لینوکس انجام شد. کتابخانه های جی ان بو پلات^{۱۰۰} و سای پای^{۱۰۰} برای رسم نمودارهای حاصله و محاسبات عددی استفاده شد. در شکل ۲ روال شبیه سازی نمایش داده

۲. روش تحقیق

مدل "مقیاس گروه ذرات" در واحد حجم توده توسعه یافته است. رویکرد واحد حجم به لیچینگ باکتریایی توده در مدل های اولیه توسط رومن و السن (۱۹۷۴) به کار برده شده بود [۴۱]. در این کار، "مقیاس گروه ذرات" به صورت واحد حجم توده تعریف شده است که شامل فاز جامد (توزیع اندازه ذرات کانسنگ)، فاز مایع (محلول لیچینگ جاری و ساکن، که حاوی مواد حل شونده و حل شده، باکتری های چسبیده و پلانکتونی می باشد) و فاز گاز (هوای در حال جریان و پاکت های هوای می باشند).



شکل ۱ مدل مفهومی از کل فرآیند لیچینگ باکتریایی که در آن فرآیندهای در گیر و المان انتگرالی برای "مقیاس گروه ذرات" بیان شده است را نشان می دهد. فرآیندهای مهمی که در این مقیاس اتفاق می افتد عبارتند از:

- ✓ واکنش های انحلال کانی.
- ✓ فرآیندهای باکتریایی (رشد، اکسایش و انتقال).
- ✓ نفوذ مواد حل شونده در داخل ذرات کانسنگ و در کل محلول ساکن.
- ✓ تولید حرارت و نفوذ.
- ✓ جریان محلول و گاز در سرتاسر المان انتگرالی.

مدل "مقیاس گروه ذرات" را می توان برای مدل مقیاس توده به وسیله المان واحد حجم به منظور تشکیل یک واحد ستون در توده تعمیم داد. مدل اثر متقابل بین واحد حجم های مجاور در واحد ستون به همراه پدیده جریان در توده را شامل می شود. بعد از شکل گیری ستون های متشکل از المان های حجمی، تکثیر ستون ها به تعداد زیاد تا ایجاد توده است که این توسعه نیازمند تشریح اثر متقابل بین ستون های مجاور در درون این توده می باشد. بنابراین، مدل "مقیاس گروه ذرات" برای لیچینگ باکتریایی توده های عبارت است از مدل حد واسطه بین مدل مقیاس ذره و مدل مقیاس توده. همین طور، مدل آگلومره شامل فرآیندهای مقیاس ذره به طور کامل است و می تواند بلوک های

بزرگی توده بستگی دارد. در نتیجه، در این مدل نفوذ در فاز محلول در حال جریان در نظر گرفته نشده است.

۵. تبادل بهوسیله نفوذ، اجزاء شیمیایی و باکتریایی در کل مرزهای "مقیاس گروه ذرات" وجود ندارد.

۶. واکنش‌های شیمیایی و باکتریایی در محلول در حال جریان در نظر گرفته نشده؛ بلکه تنها انتقال بهوسیله محلول در حال جریان در نظر گرفته شده است.

۷. ذرات کانسنگ به صورت کروی و دارای کانی‌های یکنواخت توزیع شده در زمان اولیه می‌باشند.

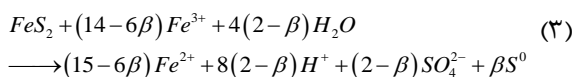
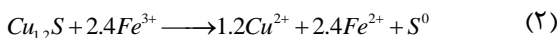
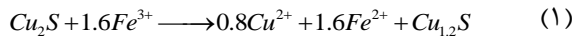
۸. برای نرخ‌های رشد باکتری‌های جذب شده و جذب نشده (برای اجزاء معین) به صورت متفاوت رفتار شده است.

۹. نفوذ مواد حل‌شونده محلول در داخل ذرات کانسنگ، در مسیر شعاعی پیشروع می‌کند، از این‌رو، از نفوذ زاویه‌ای صرف‌نظر شده است.

۴. توصیف، تشریح و فرمولاسیون مدل ریاضی

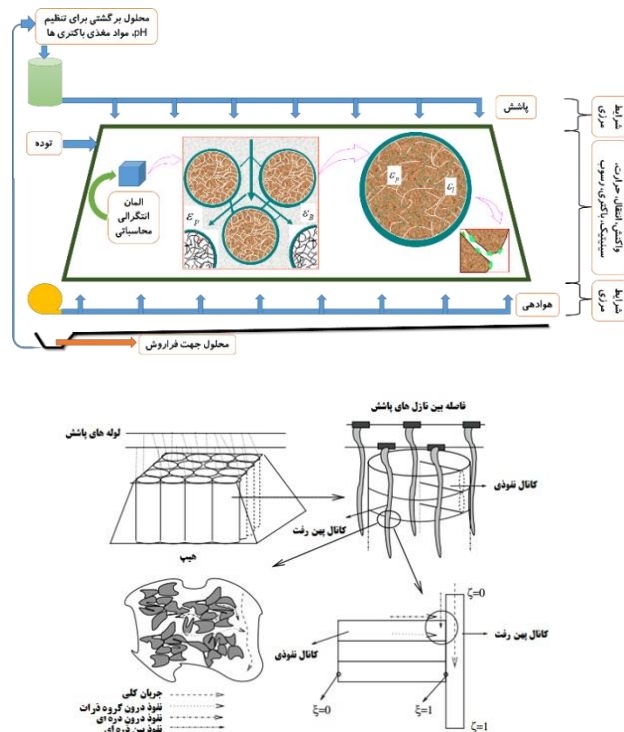
۱-۴ واکنش‌های شیمیایی (مدل واکنش)

مس در کانی‌های سولفیدی بهوسیله واکنش با یون‌های آهن سه‌ظرفیتی اکسیده می‌شود [۳۷]. واکنش‌های شیمیایی بین کانی‌های کالکوسیت، کوولیت و پیریت موجود در کانسنگ و یون آهن سه‌ظرفیتی موجود در محلول لیچینگ به صورت زیر است:



لیچینگ کالکوسیت طی مکانیسم دو مرحله‌ای انجام می‌شود. در مرحله اول، کالکوسیت با یون‌های آهن سه‌ظرفیتی واکنش داده و تشکیل کانی حد واسطی شبیه به کوولیت می‌دهد، و حدود ۴۰٪ از کل مس را آزاد می‌کند (رابطه ۱). در مرحله دوم، کوولیت تشکیل شده در مرحله اول، با یون‌های آهن سه‌ظرفیتی واکنش داده ۶۰٪ از کل مس باقی‌مانده و سولفور (رابطه ۲) را آزاد می‌کند. نرخ ذاتی مرحله اول در دمای اتاق بالا است و بهوسیله نفوذ یون‌های آهن سه‌ظرفیتی به محلهای واکنش در ذره کانسنگ محدود شده است. این مرحله دارای انرژی فعل سازی نسبتاً پائینی است (مقادیر از ۴-۲۵ kJ/mol).

شده است. در نموگرام جزئیات برنامه نویسی و نحوه ارتباط کد برای حل مسئله و پایان شبیه‌سازی توضیح داده شده است.



شکل ۱: مدل مفهومی از لیچینگ باکتریایی توده‌ای شامل فرآیندهای درگیر، معادله‌های حاکم و المان انتگرالی "مقیاس گروه ذرات"

۲. خلاصه‌ای از فرض‌های مدل‌سازی فرآیند لیچینگ باکتریایی توده‌ای

تعدادی از فرضیه‌ها برای توسعه مدل اولیه در نظر گرفته شده‌اند که در زیر به بیان آن‌ها پرداخته شده است.

۱. مدل‌سازی در "مقیاس گروه ذرات" تحت شرایط ایزوترم بررسی شده است.

۲. غلظت ثابتی از اکسیژن حل شده در فاز مایع ورودی وجود دارد.

۳. محلول لیچینگ (یا همان فاز مایع) در مدل "مقیاس گروه ذرات" به دو فاز ساکن و در حال جریان تقسیم و از هم جدا شده‌اند. تغییرات گونه‌های شیمیایی و باکتریایی در این فازها اتفاق می‌افتد.

۴. فرض شده است که گرادیان غلظت اجزاء شیمیایی و باکتریایی در فاز محلول در حال جریان در درون المان انتگرالی "مقیاس گروه ذرات" کوچک است که به

که در آن: k_A پارامتر انتقال جرمی یون آهن سه‌ظرفیتی و k_B پارامتر احیاء یون آهن سه‌ظرفیتی است. معادله بالا می‌تواند بسته به مقادیر این دو پارامتر، هر کدام از سه شکل متداول کنترل نرخ الکتروشیمیایی را نشان بدهد. وقتی مقادیر هر دو پارامتر صفر باشد ($m \approx 0.5$) تجزیه کائی به صورت آندی کنترل‌کننده نرخ واکنش است. وقتی $k_A = 0$ و $k_B >> C_{Fe^{2+}}$ باشد، احیای یون آهن سه‌ظرفیتی کنترل‌کننده نرخ است. در نهایت، وقتی $k_A >> C_{Fe^{3+}}$ و $k_B >> C_{Fe^{2+}}$ باشند انتقال جرم یون آهن سه‌ظرفیتی کنترل‌کننده واکنش است.

$h(X)$ جمله توپولوژی است که برای تغییر در سطح واکنش‌دهنده به کار می‌رود. قانون توانی، به وسیله دیکسن و هندریکس (۱۹۹۳) [۱۱] به کار رفته است:

$$h(X) = (1-X)^\phi \quad (11)$$

که در آن: ϕ پارامتر تجربی بوده و اغلب بین 0.5 تا 2 است [۴۳]. نرخ اکسایش باکتریایی با نرخ رشد باکتریایی μ (با ضریب استوکیومتری، ضریب بازده $f(T)$)، و نرخ نگهداری سلول، k_m ارتباط دارد [۴۲]. از این رو، نرخ اکسایش باکتریایی برای جزء i عبارتست از:

$$S = N_k \left(\frac{\mu_k}{Y} + k_m f(T) \right) \quad (12)$$

که در آن: N اندیس k برای مشخص کردن جمعیت باکتریایی جذب شده، $f(T)$ میزان وابستگی فعالیت باکتریایی به دما است.

توسعه روابط نرخ برای باکتری‌های اکسیدکننده آهن و سولفور در لیچینگ باکتریایی هیپ، بسیار مهم است. طی سال‌ها، روابط نرخ متعددی به صورت فرمول درآمده است، بعضی‌ها توسط اجمومو و همکارانش (۲۰۰۶) مقایسه شده است [۱۴]. لازم به ذکر است که اکثر این روابط نرخ، اصلاح شده شکل مونود می‌باشند. نرخ رشد باکتریایی (μ) برابر است با نرخ رشد باکتریایی ماکریزم (μ_{max}) ضربدر عوامل محدودکننده. بنابراین عبارت به این صورت قابل بیان است:

$$\mu_i = \mu_{i,max} F(T, C_{O_2}, C_{acid}, N, C_{Fe^{2+}} \text{ or } C_S, \dots) \quad (13)$$

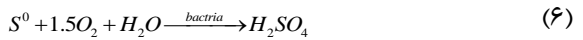
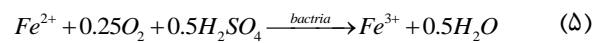
نرخ رشد باکتری‌های اکسیدکننده آهن عبارت است از [۴۲]:

$$\mu_{Fe} = \mu_{Fe,max} \cdot f(T) \cdot \left(1 - \exp \left[-\frac{C_{acid}}{C_{acid,lim}} \right] \right) \cdot \left(\frac{C_{Fe^{2+}}}{K_{Fe^{2+}} + C_{Fe^{2+}}} \right) \cdot \left(\frac{C_{O_2}}{K_{O_2} + C_{O_2}} \right) \cdot \left(\frac{K_I}{K_I + N_{Fe}} \right) \quad (14)$$

گزارش شده است. نرخ ذاتی مرحله دوم کمی آهسته‌تر است و درای انرژی فعال‌سازی کمی بیشتر از مرحله اول است (مقادیر $55-105 \text{ kJ/mol}$ به‌طور قابل توجهی با دما افزایش می‌یابد). مرحله دوم وابستگی سینتیکی مرتبه نیم را به نسبت آهن سه‌ظرفیتی به آهن دوظرفیتی نشان می‌دهد. از این رو، پیشنهاد می‌کند کنترل به وسیله انتقال بار در نیم واکنش آندی انجام می‌شود.

در عمل پیریت به همراه کالکوسیت یافت می‌شود و به وسیله واکنش با یون‌های آهن سه‌ظرفیتی لیچ می‌شود تا یون‌های آهن دوظرفیتی، سولفات (بسته به پتانسیل اکسایش - کاهش) و سولفور عنصری آزاد شود. β در رابطه (۳) کسری از پیریت است که به جای سولفات به سولفور عنصری تبدیل می‌شود. مقدار آن بین 0 و 1 است که وابسته به پتانسیل اکسایش - احیاء دارد. در این مطالعه، فرض شده $\beta=0$ است. به عبارتی دیگر، سولفور عنصری از پیریت تشکیل نشده است. رابطه (۴)، مصرف اسید به وسیله گانگ را نشان می‌دهد.

واکنش‌های اکسایش باکتریایی (اکسایش آهن دوظرفیتی و سولفور) به وسیله روابط زیر ارائه شده‌اند:



نرخ واکنش لیچینگ کانی سولفیدی تابع دما، غلظت مواد واکنش‌دهنده و کسر کانی واکنش نداده است. با نوشتن مجدد رابطه بر حسب عیار کانی g به صورت $g_0 X$ می‌توان نوشت:

$$S = \rho(1-\epsilon) \frac{\partial g}{\partial t} = \rho(1-\epsilon) g_0 \frac{\partial X}{\partial t} \quad (7)$$

که در آن: ϵ تخلخل ذره، g_0 عیار اولیه کانی و X نرخ تبدیل کانی تغییر کرده است. همچنین داریم:

$$\frac{\partial X}{\partial t} = k(T) f(C) h(X) \quad (8)$$

که در آن: $k(T)$ ثابت نرخ وابسته به دما می‌باشد و به وسیله قانون آرنیوس ارائه می‌شود:

$$k(T) = k_{ref} \exp \left[-\frac{E}{R} \left(\frac{1}{T} - \frac{1}{T_{ref}} \right) \right] \quad (9)$$

که در آن: k_{ref} ثابت آرنیوس در دمای مرجع E , T_{ref} انرژی فعال-سازی و R ثابت گازها است. تابع غلظت $f(C)$ نیز به صورت زیر ارائه می‌شود. این رابطه از فرآیند الکتروشیمیایی لیچینگ به دست می‌آید [۴۲]:

$$f(C) = \frac{C_{Fe^{3+}}}{(k_A + C_{Fe^{3+}})^{1-m} (k_B + C_{Fe^{2+}})^m} \quad (10)$$

$$\left[\epsilon \frac{\partial C_i}{\partial t} = \epsilon D_i \left(\frac{\partial^2 C_i}{\partial r^2} + \frac{2}{r} \frac{\partial C_i}{\partial r} \right) + \sum_l V_{il} S_l + \delta(R-r) \sum_m V_{im} S_{surf,m} \right]_j, \left[\frac{mol}{cm^3 \text{ min}} \right] \quad (17)$$

که در آن: ϵ تخلخل ذره، C_i غلظت اجزاء، D_i ضریب نفوذ اجزاء، V_{il} استوکیومتری اجزاء i در واکنش لیچینگ l (روابط (۱)، (۲)، (۳)، (۴)، و S_l جمله نرخ برای واکنش لیچینگ کانی l (رابطه (۷) است. آخرین جمله سمت راست رابطه (۱۷) برای واکنش‌های اکسایش باکتریایی در سطح ذره لحظه می‌شود که V_{im} ضریب استوکیومتری اجزاء i در واکنش اکسایش باکتریایی در سطح ذره (رابطه (۵) و (۶)، و S_{surf} عبارت اکسایش باکتریایی در سطح ذره (رابطه (۱۲) است. شرایط مرزی برای رابطه (۱۷) عبارتند از:

$$\frac{\partial C_i}{\partial r}(0,t) = 0 \quad (18)$$

$$-D_i \frac{\partial C_i}{\partial r} \Big|_{r=R} = -k_{bs} (C_{bi} - C_{ri}) \quad (19)$$

که در آن: C_{bi} غلظت کل اجزاء و k_{bs} ضریب انتقال جرم در سطح مشترک سطح ذره/ کل (توده) است. در زمان اولیه، غلظت یکسانی از اجزاء i در کلاس اندازه r فرض شده است. تغییر در غلظت اجزاء شیمیایی در محلول کل از تبادل در سطح مشترک سطح ذره/ کل (توده)، تبادل در سطح مشترک محلول کل (توده)/ در حال جريان، و نرخ تشکيل (با مصرف) اجزاء در توده نتيجه می‌شود که به‌وسيله رابطه موازنه جرم در زير بيان می‌شود:

$$\begin{aligned} \epsilon_b \frac{dC_{bi}}{dt} &= -3\epsilon \epsilon_p \sum_j \frac{\omega_j}{R_j} k_{bs} (C_{bi} - C_{Rj}) + k_{bf}^* (C_{fi} - C_{bi}) + \\ &+ \epsilon_b \sum_m V_{im} S_{bulk,m} \cdot \left[\frac{mol}{cm^3 \text{ min}} \right] \end{aligned} \quad (20)$$

اولين جمله در سمت راست رابطه (۲۰) نرخ ميانگين تبادل بين تمام ذرات و محلول توده (کل) را ارائه می‌کند، (که انديس ز مربوط به اندازه کلاس است). جمله دوم نرخ تبادل در سطح مشترک محلول توده / در حال جريان را بيان می‌کند. K_{bf}^* نرخ انتقال جرم در اين سطح مشترک، عبارت است از:

$$k_{bf}^* = k_{bf} \times \frac{\text{ناحیه سطح تبادل}}{\text{حجم المان انتگرالی}} \quad (21)$$

که در آن: k_{bf} ضریب انتقال جرم در سطح مشترک محلول توده در حال جريان است. جمله سوم تولید يا مصرف اجزاء را در توده در نتيجه واکنش‌های اکسایش باکتریایی بيان می‌کند. S_{bulk} در رابطه (۱۲) بيان شده است.

نرخ تغیير غلظت اجزاء شیمیایی در فاز در حال جريان به دليل جابه‌جايی افقی و نرخ تبادل با محلول توده است. اين موضوع به‌وسيله رابطه زير ارائه شده است:

که در آن: K_I ثابت بازدارندگی سلول است. رابطه (۱۴) وابستگی نرخ رشد باکتری‌های اکسیدکننده آهن به دما، pH ، غلظت یون آهن دوظرفیتی، غلظت اکسیژن حل شده، و ازدحام سلولی را نشان می‌دهد. به عبارت دیگر، عوامل بالا سبب محدودیت در نرخ رشد باکتری‌های اکسیدکننده آهن می‌شوند. بيان مشابهی برای نرخ رشد باکتری‌های اکسیدکننده سولفور ارائه شده است. باکتری‌های اکسیدکننده سولفور به‌وسيله اکسید کردن سولفور عنصری در سطح ذرات کائنسنگ رشد می‌کنند. نرخ رشد اکسیدکننده‌های سولفور جذب شده بهصورت زير ارائه می‌شود:

$$\mu_S = \mu_{S,\max} f(T) \cdot \left(\frac{g_S}{K_S + g_S} \right) \cdot \left(\frac{C_{O_2}}{K_{O_2} + C_{O_2}} \right) \cdot \left(\frac{K_I}{K_I + N_S} \right) \quad (15)$$

که در آن: g_S عيار سولفور است [۴۲]. وابستگی نرخ رشد باکتریایی به دما را می‌توان به‌وسيله رابطه راتکووسکی تشریح کرد [۴۴]. با تعريف $f(T) = \frac{F(T)}{F(T_{opt})}$ به عنوان تابع دمای نرمال شده، آنگاهتابع راتکووسکی ($F(T)$ به صورت زير ارائه می‌شود [۴۵]:

$$F(T) = \sqrt{r} = b(T - T_{min}) (1 - \exp(c(T - T_{max}))) \quad (16)$$

که در آن: R ثابت نرخ رشد، T دما (کلوین)، و b ، c پارامترهای برازش، T_{max} و T_{min} برونيابی تئوري دماهای حداقل و حداکثر برای رشد باکتریایی و T_{opt} دمای بهينه نرخ رشد باکتریایی است. رابطه راتکووسکی يك رابطه تجربی است که بهمنظور برازش داده‌های آزمایشگاهی توسعه‌يافته بود. زويترینگ و همكارانش (۱۹۹۱) مدل‌های مختلف مفید و مناسب را ارزیابی کرددند و رابطه بين رشد باکتریایی و دما را به‌وسيله آنالیز آماری داده‌های آزمایشگاهی زيادي تشریح کرددند [۴۶]. آن‌ها نتيجه گرفتند که شکل اصلاح شده رابطه راتکووسکی مناسب‌ترین رابطه است. فرنزمن و همكارانش (۲۰۰۵) مقادير پارامترهای رابطه راتکووسکی (T_{opt} , T_{max} , T_{min} , b , c) را برای باکتری‌های عمومی لیچینگ کانی انتخاب شده که با ترکيب‌های یون آهن دوظرفیتی و سولفور رشد می‌کنند، گزارش کرددند [۴۵].

۲-۴ موازنه جرم اجزای شیمیایی و باکتریایی (مدل انتقال)

هر کلاس اندازه ذره n ، به‌وسيله نماینده (يا ميانگين) شعاع ذره R مدل شده است. رابطه موازنه جرم برای هر کدام از اجزاء حل شده i ، در هر کلاس اندازه n ، به‌وسيله رابطه واکنش - نفوذ در زير ارائه شده است:

جذب نشده (mol/L), و K_a ثابت تعادل جذب است (L/mol). از این رو، ایزوترم لانگمویر برای مدل باکتریایی عبارت است از:

$$\frac{N_a}{N_{a\max}} = \frac{K_a N_d}{1 + K_a N_d} \quad (30)$$

۵. مباحث حل عددی و پارامترهای مورد استفاده در شبیه‌سازی

مدل ریاضی توسعه داده شده در این مقاله برای کانی‌های کالکوسيت، کوولیت و پیریت و اجزای شیمیایی مس، آهن دو-ظرفیتی، آهن سه-ظرفیتی، اسید و اکسیژن در حضور باکتری‌های اکسیدکننده حل شده است. مقادیر عددی پارامترهای مورد نیاز در مدل در جدول‌های ۴ تا ۷ مربوط به این سه کانی استفاده شده است. معادلات دیفرانسیلی با مشتقات جزئی حاصله با استفاده از روش تفاضل محدود خطی‌سازی شدند. ثبات نتایج شبیه‌سازی و همچنین سازگاری و هماهنگی نتایج با انجام موازنۀ چرم در پایان هر شبیه‌سازی برسی شده است. کل مس تشکیل شده، بر اساس تبدیل نهایی کانی‌های مس، با کل مس محلول به دست آمده از شبیه‌سازی مقایسه شد. موازنۀ تعادلی آهن نیز انجام شد: کل آهن ورودی به سیستم (کل آهن سه-ظرفیتی و آهن دو-ظرفیتی در جریان ورودی، به علاوه مقدار اولیه آهن سه-ظرفیتی و آهن دو-ظرفیتی در المان انتگرالی)، با کل آهن خروجی از سیستم (کل آهن سه-ظرفیتی و آهن دو-ظرفیتی در جریان خروجی، به علاوه مقدار نهایی آهن سه-ظرفیتی و آهن دو-ظرفیتی در پایان شبیه‌سازی) مقایسه شد. دستیابی به یک موازنۀ چرم در محدوده خطای منطقی، جنبه‌های چالش برانگیز اجرای محاسبات عددی است. با استفاده از این روش، حداکثر خطای نسبی در محاسبات موازنۀ چرم (برای تمام شبیه‌سازی‌های ۷,۰ درصد بود. به غیر از خطاهای نسبی برای شبیه‌سازی‌های مربوط به نرخ جریان بالا، تمام شبیه‌سازی‌های دیگر خطاهای نسبی کمتر از ۱۵,۰ درصد بود. خطاهای شبیه‌سازی بالا با افزایش نرخ جریان به دست آمده که بالاترین آن برای نرخ جریان ۲ سانتی‌متر بر دقیقه، ۶۵,۰ درصد بود. در شکل ۲ نموگرام برنامه برای انجام محاسبات عددی و حل مدل به همراه موازنۀ چرم نشان داده شده است.

از رابطه‌های (۱) تا (۴)، ماتریس استوکیومتری برای واکنش‌های لیچینگ در ذرات کانسنگ به صورت زیر تشکیل می‌شود:

$$\varepsilon_f \frac{\partial C_{fi}}{\partial t} = -u \frac{\partial C_{fi}}{\partial z} - k_{bf}^* (C_{fi} - C_{bi}), \quad \left[\frac{mol}{cm_p^3 min} \right] \quad (22)$$

که در آن: u سرعت ظاهری محلول در حال جریان است.

دانسیته جمعیت کل اجزاء باکتریایی معین ε ، N_i ($cells/cm^3_{agg}$) شامل باکتری‌های جذب شده ($N_{a,i}$ ($cells/gore$)) و باکتری‌های جذب نشده ($N_{d,i}$ ($cells/cm^3_{bulk}$)) به صورت رابطه زیر به هم مرتبط می‌شوند:

$$N_i = \varepsilon_p \rho (1 - \epsilon) N_{a,i} + \varepsilon_b N_{d,i} \quad (23)$$

نرخ تغییر جمعیت جذب شده برای اجزاء i و کلاس اندازه j عبارتست از:

$$\left[\frac{dN_a}{dt} = N_a (\mu_a - k_{death}) \right]_{ij}, \quad \left[\frac{cells}{g_{ore} min} \right] \quad (24)$$

که در آن: μ_a نرخ رشد باکتری‌های جذب شده (روابط (۱۴) و (۱۵)) و k_{death} نرخ مرگ ویژه باکتری‌ها هستند. نرخ تغییر جمعیت باکتریایی جذب شده به صورت زیر بیان می‌شود:

$$\varepsilon_b \frac{dN_d}{dt} = \varepsilon_b N_d (\mu_d - k_{death}) + k_{bf}^* (N_f - N_d), \quad \left[\frac{cells}{cm^3 min} \right] \quad (25)$$

که در آن: μ_d نرخ رشد باکتری‌های جذب نشده، و N_f دانسیته جمعیت در فاز در حال جریان هستند. نرخ تغییر جمعیت باکتریایی در محلول در حال جریان به دلیل جابجایی افقی، و نرخ تبادل با محلول توده است که به صورت رابطه زیر ارائه می‌شود:

$$\varepsilon_f \frac{\partial N_f}{\partial t} = -u \frac{\partial N_f}{\partial z} - k_{bf}^* (N_f - N_d), \quad \left[\frac{cells}{cm_p^3 min} \right] \quad (26)$$

جمعیت باکتریایی ورودی ثابت فرض شده است:

$$N_f(0, t) = N_{f,inlet} \quad (27)$$

برای رابطه‌های (۲۴)، (۲۵) و (۲۶)، جمعیت باکتریایی اولیه ثابت فرض شده است. جمعیت‌های باکتریایی جذب شده و جذب نشده بواسیله فرآیند جذب/واجدب جفت شده است. جذب سطحی اجزاء به محل‌های جامد برای جذب را می‌توان به سادگی به صورت واکنشی که سریعاً پیشروعی می‌کند تا به تعادل برسد، بیان کرد:

$$C_{ads} \leftrightarrow C_{des} \quad (28)$$

سینتیک جذب سطحی را می‌توان بواسیله ایزوترم‌های جذب سطحی تشریح کرد. در این کار، مدل ایزوترم لانگمویر (براساس فرض جذب تک لایه‌ای) به کار رفته است. در تعادل، نرخ جذب سطحی اجزاء جذب نشده معادل با نرخ واجدب اجزاء جذب نشده است. ایزوترم لانگمویر به این صورت نوشته می‌شود:

$$\frac{C_{ads}}{C_{adsmax}} = \frac{K_a C_{des}}{1 + K_a C_{des}} \quad (29)$$

که در آن: C_{ads} غلظت جذب شده (mol/g)، C_{adsmax} غلظت مطابق با لایه تک مولکولی کامل (mol/g) است، C_{des}

$$\begin{aligned} C_{f,H_2SO_4}(z,0) &= 8\%, \\ N_f(z,0) &= 10^{10} \text{ cells/l}, \end{aligned} \quad (33)$$

$$\begin{aligned} C_{p,i}(r,0) &= 0, \\ C_{b,i}(0) &= C_{f,i}(z,0), \\ N_d(0) &= N_f(z,0) \text{ cells/l}, \\ N_a(0) &= 0 \text{ cells/g}, \end{aligned} \quad (34)$$

که i در رابطه (۳۳) و رابطه (۳۴) یکی از اجزاء حل شده (Cu , Fe^{3+} , Fe^{2+} , O_2 , H_2SO_4) است. غلظت مس اولیه در سیستم صفر انتخاب شده است. همان‌طور که در رابطه (۳۴) نشان داده شده، غلظت کل اجزاء شیمیایی برابر با غلظت اولیه در فاز در حال جریان قرار داده شده است. سایر پارامترهای مرجع شبیه-سازی در جدول‌های ۴ تا ۷ لیست شده‌اند.

$$v_{il} = \begin{cases} Eq.(1) & Eq.(2) & Eq.(3) & Eq.(4) \\ 0.8 & 6.0 & 0.0 & 0.0 \\ -1.6 & -2.4 & 14 - 6\beta & 0.0 \\ 1.6 & 2.4 & 15 - 6\beta & 0.0 \\ 0.0 & 0.0 & 8 - 4\beta & -1.0 \end{cases} \begin{cases} Cu^{2+} \\ Fe^{3+} \\ Fe^{2+} \\ Acid \end{cases} \quad (31)$$

ردیف‌های ماتریس v_{il} (با اندیس i) اجزاء حل شده، و ستون‌ها (اندیس l) واکنش‌های لیچینگ کانی هستند. شرایط اولیه زیر برای حل معادلات دیفرانسیلی با توجه به فیزیک مسئله لیچینگ باکتریای توده‌ای استفاده شده بود.

$$\begin{aligned} C_{f,Fe^{2+}}(z,0) &= 0.1\%, \\ C_{f,Fe^{3+}}(z,0) &= 0.1\%, \\ C_{f,O_2}(z,0) &= 0.008\%, \end{aligned} \quad (32)$$

جدول ۴: پارامترهای بیولوژیکی مورد استفاده در شبیه‌سازی لیچینگ باکتریایی توده‌ای

پارامتر	علامت	واحد	اکسایش سولفور (مزوفیل)	اکسایش آهن (مزوفیل)
جمعیت باکتریایی ورودی	$N_{f,inlet}$	سلول بر لیتر	10^9	10^{10}
جرم مولی	M	گرم بر مول	10^{12}	10^{12}
ضریب بازه باکتری	Y	سلول بر مول سوبستر	2×10^{11}	2×10^{12}
نرخ رشد باکتری	μ_{max}	یک بر دقیقه	$0,000,83$	$0,000,17$
نرخ مرگ ویژه باکتری	K_{death}	یک بر دقیقه	$0,000,01$	$0,000,17$
نرخ نگهداری سلول	K_m	مول سوبستر بر سلول بر دقیقه	.	.
حداکثر باکتری جذب شده	$N_{a,max}$	سلول بر گرم	$1,5 \times 10^9$	$1,5 \times 10^9$
ثبت تعادل جذب	K_a	لیتر بر سلول	17×10^{-12}	67×10^{-12}
ثابت یون آهن یا گوگرد	$K_{substrate}$	مول بر لیتر (K _{Fe}) یا مول بر گرم	$K_s = 0,000,6$	$K_{Fe} = 0,000,1$
ثابت اسیدیته	K_{acid}	مول بر لیتر	-	$0,01$
ثابت اکسیژن	K_{O2}	مول بر لیتر	$0,000,05$	$0,000,05$
ثابت بازدارندگی سلول	K_I	سلول بر لیتر	10^{12}	10^{12}
دماهی کمینه	T_{min}	درجه سانتی‌گراد	-۴,۲	۹,۶
دماهی بیشینه	T_{max}	درجه سانتی‌گراد	۳۹,۷	۴۹,۵
دماهی بهینه	T_{opt}	درجه سانتی‌گراد	۳۲,۸	۳۸,۶
پارامتر برازش	b	(پارامتر برازش‌داده شده راتووسکی)	۰,۰۰۲۹۳	۰,۰۱۵۵۱
پارامتر برازش	c	(پارامتر برازش‌داده شده راتووسکی)	۰,۳۰۸۹۱	۰,۲۲۰۶۱

جدول ۵: پارامترهای اجزاء شیمیابی مورد استفاده در شبیه‌سازی لیچینگ باکتریایی توده‌ای

پارامتر	علامت	واحد	مس	یون آهن سه‌ظرفیتی	یون آهن دو‌ظرفیتی	اسید	اکسیژن
ضریب نفوذ	D	مترا مربع بر ثانیه	10^{-9}	10^{-9}	3×10^{-9}	10^{-9}	10^{-9}
غلظت اولیه وردی	$C_{f,inlet}$	گرم بر لیتر	۰	۰,۱	۰,۱	۸	$0,0008$
جرم مولی	M	گرم بر مول	$63,54$	$55,85$	$55,85$	$98,07$	۳۲
ثابت آرنیوس در دمای مرجع	k_{ref}	معکوس دقیقه	-	-	-	$9,3 \times 10^{-4}$	-
دمای مرجع	T_{ref}	درجه سانتی گراد	-	-	-	۲۰	-
انرژی فعال‌سازی	E	کیلوژول بر مول	-	-	-	۶۸,۶	۲۰

جدول ۶: پارامترهای کانی‌های موجود استفاده شده در شبیه‌سازی لیچینگ باکتریایی توده‌ای

پارامتر	علامت	واحد	کالکوسیت	کوولیت	پیریت
نماد توبولوژیکی	φ	-	۱,۳	۰,۶	۲,۰
نماد الکتروشیمیابی	M	-	۰,۱۲۴	۰,۵	۰,۵
ثابت آرنیوس در دمای مرجع	k_{ref}	معکوس دقیقه	۰,۴۴۶	۰,۰۱	$0,00005$
دمای مرجع	T_{ref}	درجه سانتی گراد	۳۵	۷۵	۵۵
انرژی فعال‌سازی	E	کیلوژول بر مول	۲۳,۹	۹۷,۹	۷۴,۳
پارامتر انتقال جرمی یون آهن سه‌ظرفیتی	k_A	مول بر لیتر	۰,۱۵۴	$0,0147$	$0,00001$
پارامتر احیاء یون آهن سه‌ظرفیتی	k_B	مول بر لیتر	۰,۰۰۰۰۱	$0,00001$	$0,00001$
عيار کانی	G	مول بر کیلوگرم کانسنسنگ	۰,۰۵۶۶	$0,0566$	۰,۳
جرم مولی کانی	M	گرم بر مول	۱۵۹,۱۴	$159,14$	$119,97$

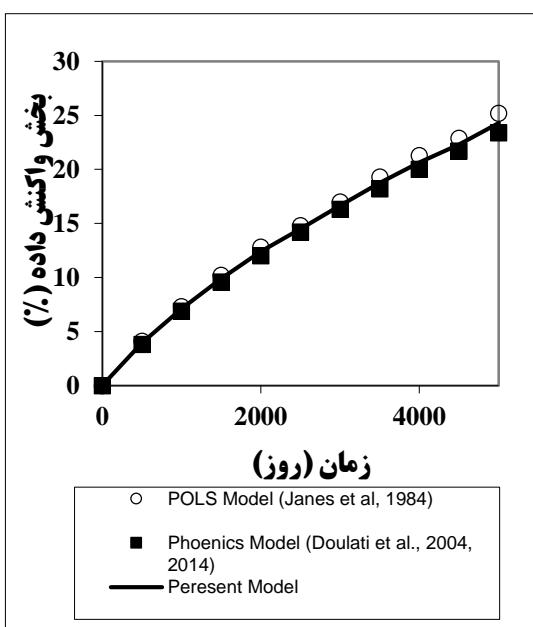
و m بدون بعد هستند φ

جدول ۷: پارامترهای تعیین شده توسط کاربر شبیه‌سازی لیچینگ باکتریایی توده‌ای

پارامتر	علامت	واحد	مقدار
چگالی کانسنسنگ	ρ	گرم بر سانتی متر مکعب	۱,۴۵
تخلخل ذره	ϵ	سانتی متر مکعب بر سانتی متر مکعب	$0,08$
کسر حجمی سیال راکد	δ_b	سانتی متر مکعب بر سانتی متر مکعب	$0,3$
کسر حجمی سیال در حال جريان	δ_f	سانتی متر مکعب بر سانتی متر مکعب	$0,1$
دما	T	درجه سانتی گراد	$38,6$
طول واحد حجم	L	سانتی متر	۲۰
سرعت ظاهری سیال در حال حرکت	U	سانتی متر بر دقیقه	$0,05$
ضریب انتقال جرم در فصل مشترک	k_{sb}	سانتی متر بر دقیقه	$0,1$
سطح ذره با محلول		یک بر دقیقه	$0,1$
نرخ انتقال جرم سطح مشترک	k^{*bf}		

طول واحد حجم L

شد. طول کل به ۲۰ قسمت مساوی نیم متری تقسیم شد. تعداد گام زمانی ۱۰۰ لحاظ شد. نتایج اعتبارسنجی حکایت از اختلاف ناچیز بین نتایج خروجی مدل ارائه شده با نتایج مدل پولز و مدل فینیکس داشت. در شکل ۳، این مقایسه بین سه مدل مذکور ارائه شده است. همچنین، سعی شد تا از روش موازنۀ جرم و روودی منهای خروجی و به علاوه عبارت تولید منهای عبارت مصرف در هر چرخه حل استفاده شود تا خطای حل عددی نتایج دچار چالش نشود. کل خطای ایجاد شده کمتر از ۰/۷ درصد بود که کاملاً قابل اغماض است و نتایج را قابل اعتماد می‌کند.



شکل ۳: مقایسه نتایج خروجی مدل ارائه شده با نتایج مدل پولز [۴۷-۴۸] و مدل پیریت واکنشی با استفاده از فینیکس [۵۱-۵۹]

-۱,۵ میلیمتری) بودند. نمودارهای متوسط تبدیل برای کلاس-های اندازه (شکل ۴ (ب)-(د)), با متوسط‌گیری حجمی تبدیل برای کانی i و کلاس اندازه j به دست می‌آیند:

$$\bar{X}_{ij} = \frac{4\pi}{V_j} \int_0^{R_j} X_{ij}(r) r_j^2 dr_j \quad (35)$$

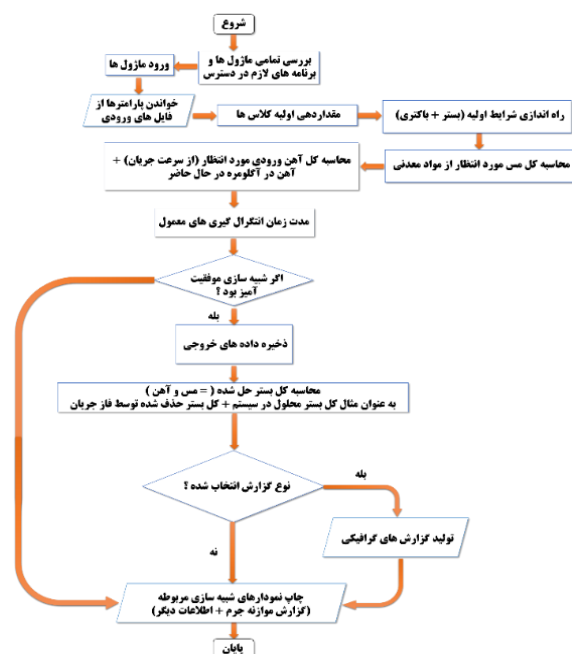
$$= \frac{3}{R_j^3} \int_0^{R_j} X_{ij}(r) r_j^2 dr_j \quad (36)$$

$$V_j = \frac{4}{3}\pi R_j^3 \quad (37)$$

غلظت کل مس در چند روز اول شبیه‌سازی (از روز ۰۰ام) به کمتر از $0.05 g/l$ افت پیدا می‌کند (شکل ۴-الف). این موضوع، به دلیل انحلال سریع مس طی لیچینگ باکتریایی کالکوسیت

۶. اعتبارسنجی نتایج شبیه‌سازی

به منظور اعتبارسنجی، نتایج مدل ارائه شده در رساله حاضر با نتایج مدل پولز [۴۸-۴۷] و مدل شبیه‌سازی واکنشی پیریت به کمک نرم‌افزار فینیکس [۵۱-۵۹] که به ترتیب با روش‌های عددی تفاوت-های محدود و حجم‌های محدود، فرآیند گسسته‌سازی معادلات دیفرانسیل حاکم را انجام می‌دهند، مقایسه شد. اعتبارسنجی برای تک‌کانی پیریت و برای شعاع ذرات ۶ میلی‌متر انجام شده است. مقدار پیریت محتوا $0/25$ درصد و مدت زمان شبیه‌سازی طولانی در نظر گرفته شد. طول مدل 10 متر برای انجام اعتبارسنجی در نظر گرفته



شکل ۲: نمودار برنامه برای انجام محاسبات عددی و حل مدل به همراه موازنۀ جرم

۷. ارائه نتایج، و تفسیر مباحث شبیه‌سازی

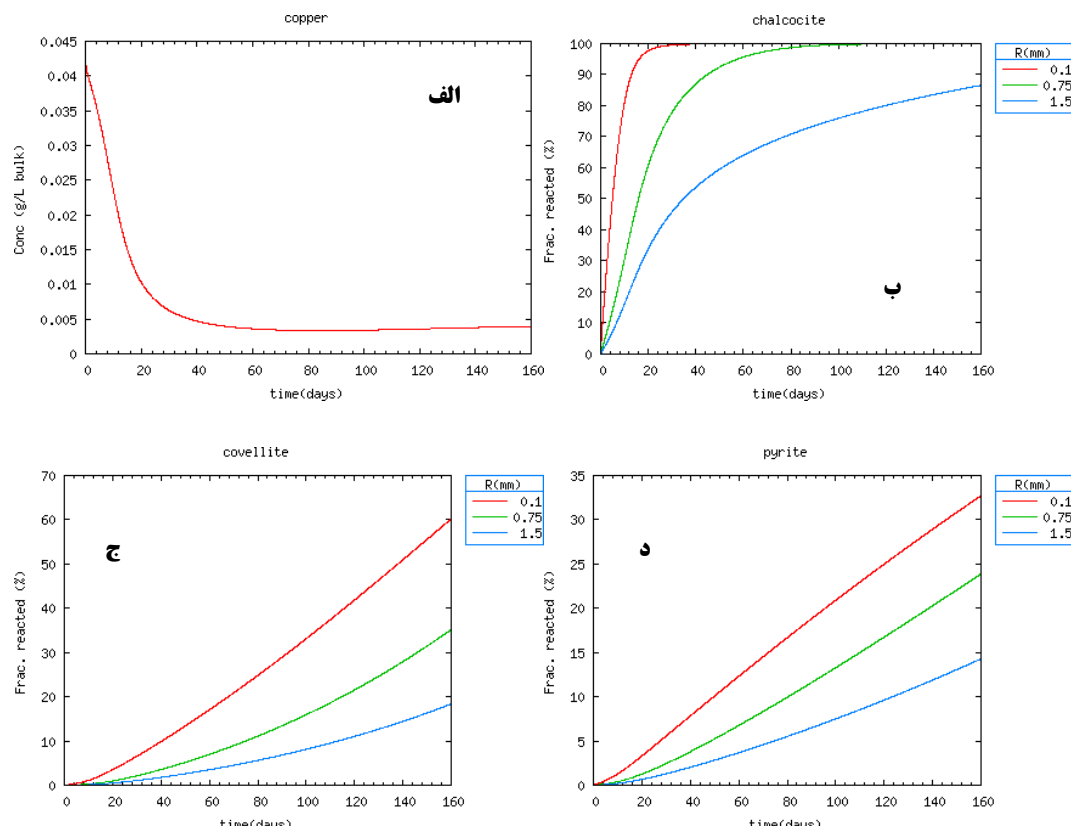
در این بخش، پاسخ تجمعی استخراج مس از کانسنس در پارامترهای مختلف مدل بررسی شده است. شبیه‌سازی‌ها در سه کلاس اندازه ذرات مختلف با شعاع‌های $0, 1mm, 0.75mm$ و $1.5mm$ انجام شده‌اند. غلظت کل مس و متوسط تبدیل کالکوسیت، کوولیت و پیریت در حضور باکتری‌ها در شکل ۴ نشان داده شده است. وزن کلاس‌های اندازه ذرات به ترتیب 45% (برای ذره)، 20% با شعاع $1mm$ ، 35% با شعاع $0.75mm$ و 20% با شعاع $0.5mm$ (برای ذره) می‌باشد.

اجرای مدل، فرض شده است که تمام کوولیت از کالکوسیت موجود و در دسترس اولیه حاصل می‌شود. از شکل ۵-ب مشخص است که این فرض همان‌گونه که از نتایج کیفی انتظار می‌رود، حاصل شد. به عبارتی، پیشروی تبدیل کوولیت فقط در نواحی از ذرات کائنسنگ که تبدیل کالکوسیت بطور قابل توجهی پیشرفت داشته است، انجام می‌شود. همان‌طور که در شکل ۵-ج دیده می‌شود، پیریت آهسته‌تر از کانی‌های مس واکنش می‌دهد.

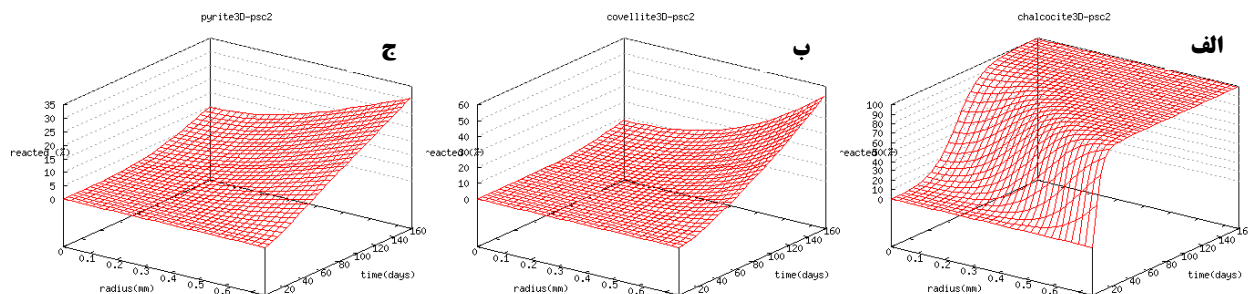
اثر فاصله نفوذ لیچینگ کانی در مقیاس ذره در شکل ۵ نشان داده شده است. در ۴۰ روز اول شبیه‌سازی، کانی‌ها نرخ‌های تبدیل بسیار متفاوتی نشان می‌دهند و نرخ واکنش کالکوسیت در این میان بیشتر واضح است. پس از آن، نرخ‌های تبدیل کانی بسیار شبیه به هم می‌باشند، نرخ تبدیل کالکوسیت به طور قابل توجهی در داخل ذرات درشت نسبت به ذرات ریز آهسته است. این رفتار به این دلیل است که وقتی در لیچینگ کالکوسیت یون‌های آهن سه‌ظرفیتی در داخل ذرات درشت پیشروی می‌کند، دیده می‌شود. این یون‌ها در تماس با کوولیت و پیریت واکنش نداده قرار گرفته و واکنش می‌دهند قبل از این که آن‌ها بتوانند به کالکوسیت عمیق‌تر در ذره برسند. بنابراین، اگرچه کالکوسیت نرخ واکنش ذاتی بالاتری دارد، سریع‌تر از پیریت یا کوولیت در ذرات کائنسنگ درشت لیچ نمی‌شود. در ذرات ریزتر، یون‌های آهن سه‌ظرفیتی دارای فاصله نفوذ کوتاه‌تری برای حرکت دارند. بنابراین، کل کالکوسیت قبل از این که لیچینگ رقابتی کانی‌ها ایجاد شود، تبدیل می‌شود. از این رو، نتایج شبیه‌سازی نشان می‌دهد که در ذرات درشت‌تر نسبت به ذرات ریزتر تبدیل کالکوسیت به دلیل حضور کوولیت و پیریت در ناحیه واکنش نداده، کند می‌شود.

(به خصوص در کلاس اندازه به شاعع $1mm$) است که با سینتیک بسیار بالایی انحلال اتفاق می‌افتد. به هر حال، غلظت مس توده (کل) بعد از روز ۶۰ به نسبت ثابت می‌شود. مس انحلال یافته توسط فاز در حال جریان از المان انتگرالی که در آن مدل سازی انجام شده است، خارج می‌شود. در اوین ده روز شبیه‌سازی، لیچینگ کالکوسیت غالب بود. شکل ۴-ب تا د نشان می‌دهد که تبدیل کالکوسیت (حدود ۹۰٪ تبدیل) در کلاس اندازه به شاعع $1mm$ در این دوره زمانی سریع است. همچنین، با افزایش شاعع ذرات سینتیک انحلال کاهاش می‌یابد. همان‌گونه که از شکل ۴ پیداست، سینتیک انحلال کالکوسیت از کوولیت و کوولیت از پیریت بیشتر است. این در حالی است که میزان کوولیت انحلال یافته بعد از ۱۶۰ روز برای سه کلاس اندازه ذرات با شاعع‌های $0.75mm$, $1mm$ و $1.5mm$ حدود 45% و 18% درصد می‌باشد. به عبارت دیگر، در ابعاد بزرگتر محدودیت نفوذ سبب کاهاش انحلال می‌شود.

مدارک آزمایشگاهی نشان داده که لیچینگ مرحله اول کالکوسیت به وسیله دسترسی مواد واکنش‌دهنده محدود شده است (کنترل کننده نفوذ)، در حالی که مرحله دوم لیچینگ کالکوسیت بواسیله سینتیک‌های انحلال کانی (کنترل کننده واکنش) محدود شده است [۱۴؛ ۱۵؛ ۱۶؛ ۱۷]. شکل ۵ پیشرفت لیچینگ باکتریایی کانی‌های کالکوسیت، کوولیت و پیریت در کلاس اندازه $0.75mm$ با جزئیات بیشتر برای تغییرات شاعع و زمان را نشان می‌دهد. عدد صفر در مورد شاعع ذره معرف مرکز ذره و عدد 0.75 سطح ذره می‌باشد. سطوح تبدیل دارای شب، نمونه‌ای از سینتیک‌های شیمیایی سریع است که مربوط به نرخ نفوذ مواد واکنش‌دهنده در داخل ذرات مربوط می‌شود. این حالت زمانی که کوولیت به طور هموژن‌تر واکنش می‌دهد برای کالکوسیت قابل مشاهده است. همچنین، طبیعت متوالی بودن مراحل اول و دوم لیچینگ کالکوسیت از شکل ۵-الف و ب آشکار می‌شود. تبدیل کوولیت فقط در نواحی که تبدیل کالکوسیت در حال کامل شدن است، اتفاق می‌افتد. لازم به ذکر است که در



شکل ۴: (الف) غلظت کل مس انحلال یافته و متوسط تبدیل کانی برای ب) کالکوسيت (ج) کووليت (د) پيريت در طول زمان ليچينگ باكتريالي تودها



شکل ۵: سطوح تبدیل کانی های کالکوسيت، کووليت و پيريت در کلاس اندازه به شعاع ۷۵ mm، بعد از ۱۶۰ روز ليچينگ باكتريالي تودهاى بر حسب تغييرات زمان و در مقیاس ساعي

شکل ۶ میزان انحلال مس بر حسب زمان را برای شبیه‌سازی-های انجام شده در 15°C , 25°C , $38/6^{\circ}\text{C}$, 45°C نشان می-دهد. شایان ذکر است که سایر پارامترهای مرجع در حین شبیه-سازی دارای مقدار ثابتی می‌باشند. دمای مرجع $38/6^{\circ}\text{C}$ به دلیل دمای بهینه *L.ferrophilum* اجزاء باکتریایی اکسید کننده آهن است. ليچينگ تودهاى کانی های سولفیدی مس اغلب در محدوده $15-25^{\circ}\text{C}$ انجام می‌شود؛ همچنین، بیشینه دمای تحمل باکتری *L.ferrophilum* 45°C است. از این رو، دماهای 45°C تا 15°C به عنوان دماهای شبیه‌سازی انتخاب شدند.

۸. حساسیت نتایج شبیه‌سازی

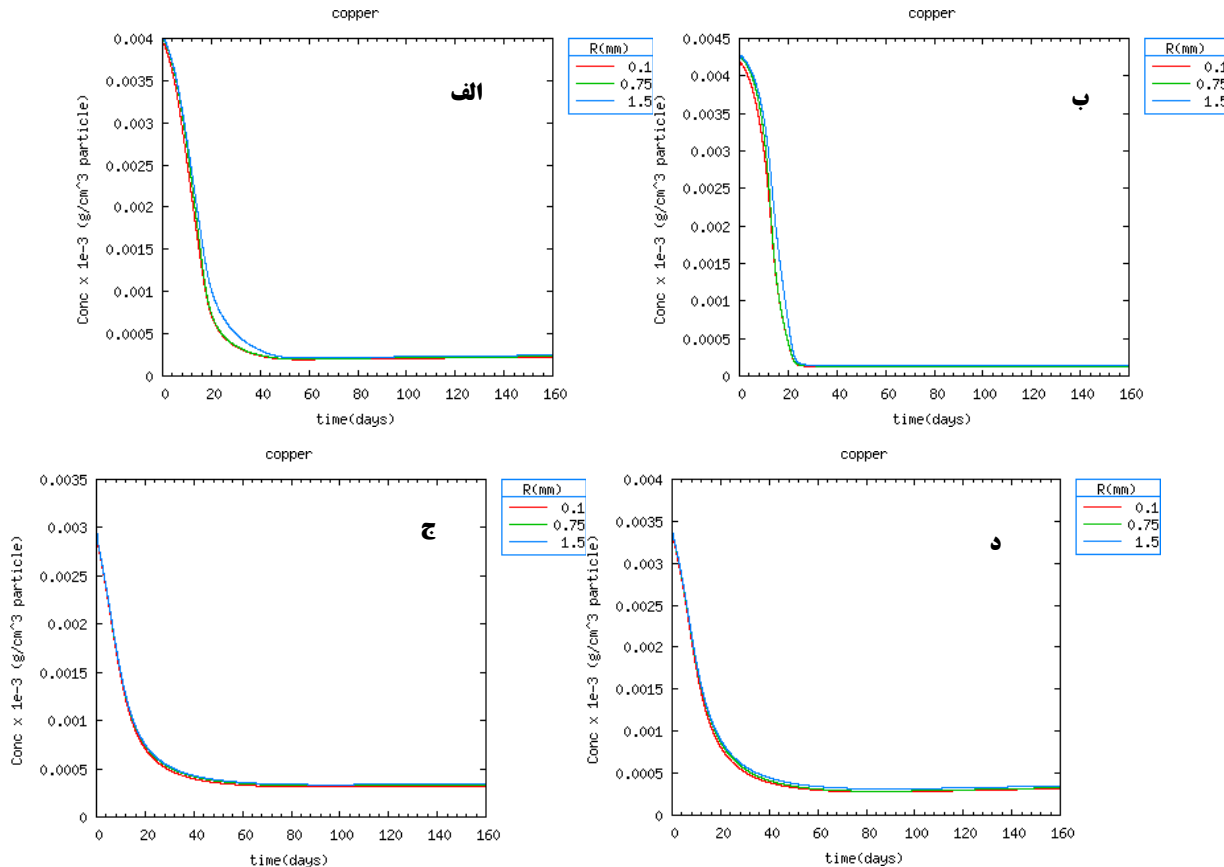
در این بخش، اثر پارامترهای شبیه‌سازی انتخاب شده در بازیابی تجمعی مس بررسی شده است. پارامترهای بررسی شده عبارتند از: دما، توزیع اندازه ذره، تغییرات پارامترهای ورودی به توده روی پاسخ بررسی شد.

۸-۱. اثر دما

ز اندیس کلاس اندازه، و $S_{Fe^{2+}}$ نرخ اکسایش باکتریایی آهن دوظرفیتی هستند.

متوسط نرخ اکسایش باکتریایی آهن دوظرفیتی در شبیه‌سازی از معادله زیر محاسبه شده است:

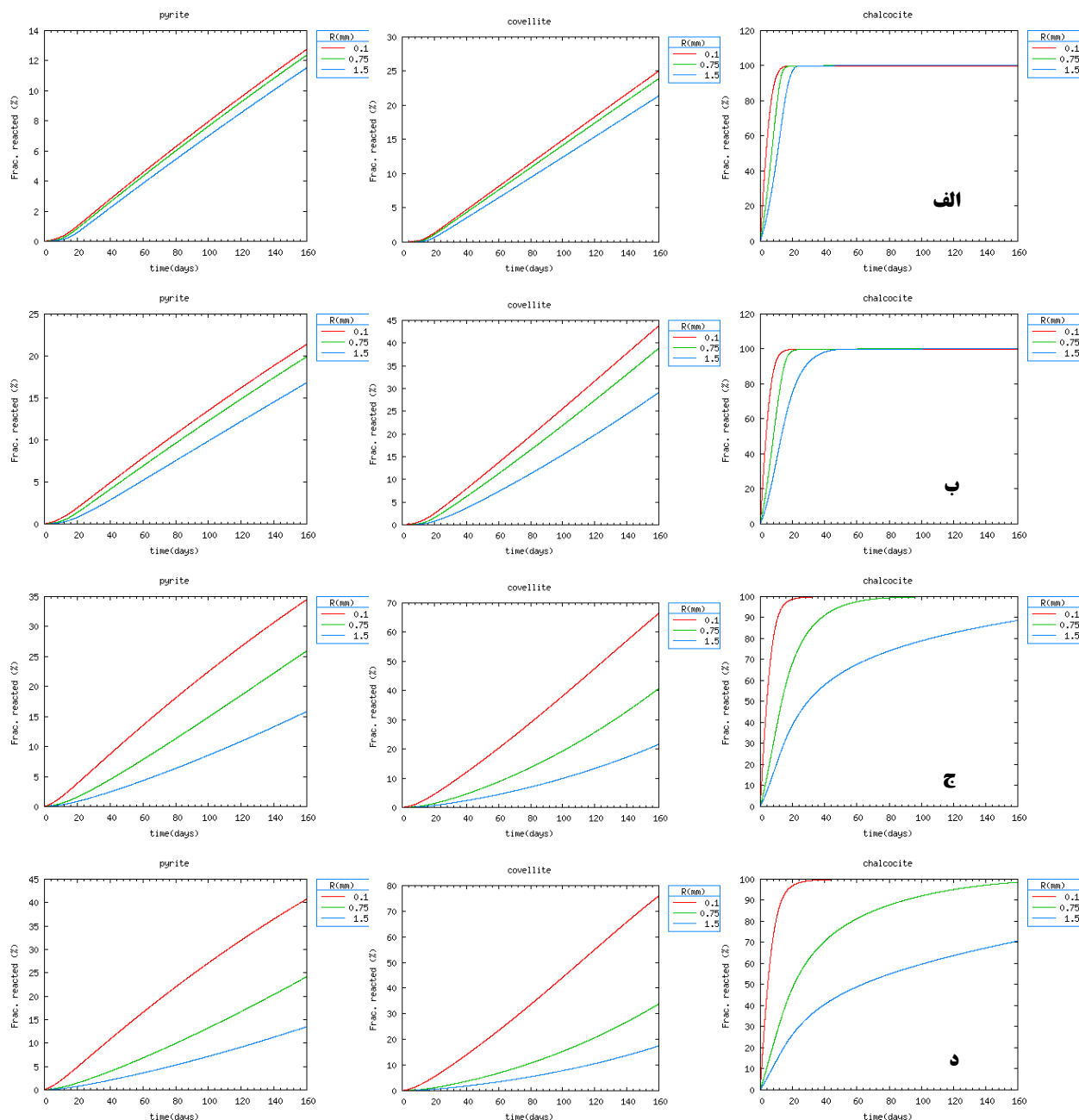
$$\bar{S}_{Fe^{2+}} = \varepsilon_p \sum_j \omega_j S_{Fe^{2+,j}} + \varepsilon_b S_{Fe^{2+,bulk}} \quad (38)$$



شکل ۶: اثر دما بر میزان انحلال مس بر حسب زمان برای شبیه‌سازی‌های انجام شده در (الف) 15°C ، (ب) 25°C ، (ج) $38/6^\circ\text{C}$ و (د) 45°C

اثر دما در نرخ واکنش کانی‌ها در شکل ۷ نشان داده شده است. همان‌طور که در بخش قبلی مقاله بیان شد، انرژی فعال‌سازی اولین مرحله واکنش لیچینگ کالکوسیت پائین‌تر از مرحله دوم واکنش لیچینگ (کوولیت) است ($E_{Cu2S} = 23/9 \text{ kJ/mol}$) و واکنش لیچینگ (کوولیت) است ($E_{CuI,2S} = 97/9 \text{ kJ/mol}$). از این روز، نرخ لیچینگ کوولیت در مقایسه با کالکوسیت به طور قابل توجهی با دما افزایش می‌یابد. انرژی فعال‌سازی پیریت همچنین بیشتر از کالکوسیت است ($E_{FeS2} = 74/3 \text{ kJ/mol}$)، از این روز لیچینگ پیریت نسبت به دما حساس‌تر از کالکوسیت است. این موضوع به صورت آشکار در شکل ۷ قابل مشاهده است، که پروفایل‌های متوسط تبدیل کالکوسیت، کوولیت و پیریت را در کلاس‌های اندازه مختلف با توزیع ابعادی یکسان در 15°C ، 25°C ، $38/6^\circ\text{C}$ و 45°C را نشان می‌دهد.

همان‌طور که در شکل ۶ دیده می‌شود، با افزایش دما میزان انحلال مس در طول زمان افزایش می‌یابد. این در حالی است که در دماهای پایین‌تر در ابتدای فرآیند لیچینگ میزان انحلال اولیه بیشتر می‌باشد. با گذشت زمان در دماهای پایین‌تر میزان مس انحلال یافته به شدت کاهش می‌یابد و در نتیجه بازیابی یا استخراج نهایی مس را کاهش می‌دهد. دلیل این امر اینست که فرآیند لیچینگ یک فرآیند حد واسطه بوده؛ بدین معنا که در ابتدای فرآیند نفوذ کنترل‌کننده فرآیند لیچینگ می‌باشد (مراحل ۱ و ۵) و با گذشت زمان و نفوذ محلول لیچ در کانسنگ انحلال شیمیایی کنترل‌کننده فرآیند می‌باشد (مراحل ۳). زمانی که انحلال شیمیایی کنترل‌کننده فرآیند فرآیند است دما مهم‌ترین عامل در سرعت بخشیدن به سینتیک انحلال (سینتیک مرحله ۳) است. نتایج شبیه‌سازی تصدیق کننده مدل‌سازی دما در مراحل قبل بوده و بر منطق فرآیند لیچینگ منطبق است.



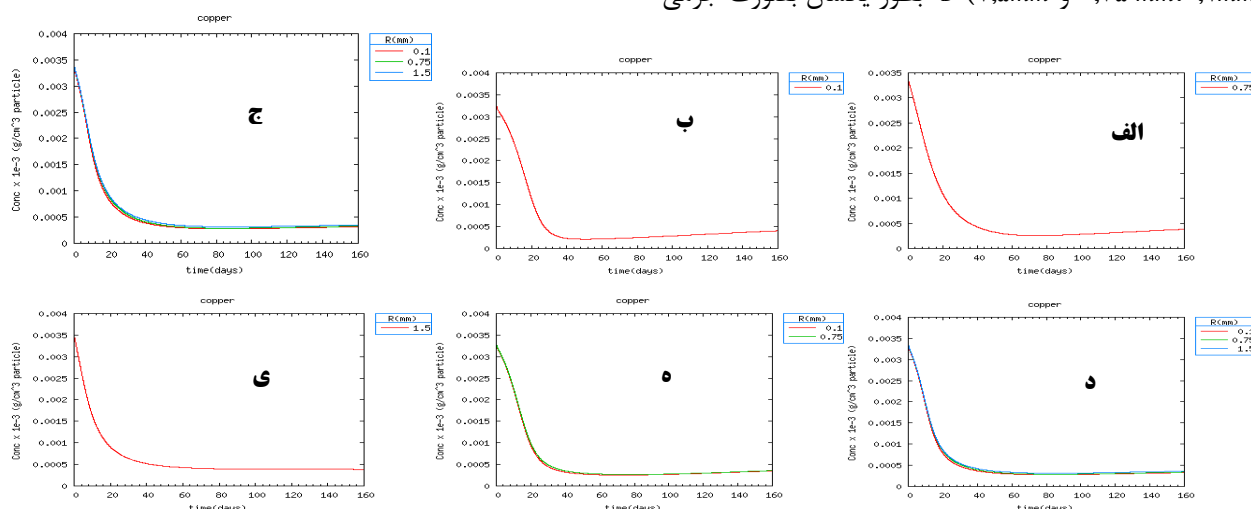
شکل ۷: اثر دما بر میزان متوسط انحلال کانی‌های کانسنسنگ بر حسب زمان برای شبیه‌سازی‌های انجام شده در (الف) ۱۵°C، (ب) ۲۵°C، (ج) ۳۸/۶°C و (د) ۴۵°C

علیرغم پائین بودن دما، را نتیجه می‌دهد. این مطلب بطور واضح از شکل ۷ مشخص می‌شود. عملیات در دمای کمی پائین‌تر (برای مثال ۱۵°C)، نرخ لیچینگ کوولیت را کاهش می‌دهد، بطوریکه اگرچه یون‌های آهن سه‌ظرفیتی توانایی نفوذ در عمق ذره را دارند، کل کوولیت لیچ شده با مقدار لیچ آن در ۳۸/۶°C قابل مقایسه نیست. از این رو، بازیابی کل مس در ۱۵°C کمتر است (شکل ۷).

نرخ‌های واکنش کوولیت و پیریت در ۲۵°C در مقایسه با ۳۸/۶°C پائین‌تر است. این امر، در اثر کاهش میزان دسترسی یون‌های آهن سه‌ظرفیتی بیشتر برای لیچینگ کوولیت و پیریت در این دمای پائین‌تر می‌باشد. بنابراین، لیچینگ کالکوسیت در دمای ۲۵°C در مقایسه با ۳۸/۶°C زودتر کامل می‌شود. از طرف دیگر، کامل شدن زودتر لیچینگ کالکوسیت دلالت بر این دارد که یون‌های آهن سه‌ظرفیتی توانایی نفوذ در عمق ذره را دارند (فرآیند کنترل‌کننده نفوذ) که انحلال بخشی از کوولیت،

و در نسبت ۱:۰:۰، ۱:۰:۰، ۰:۰:۰/۲۵ و ۰:۰:۰/۷۵ در ۳۸/۶°C جرمی وزن شده‌اند. شبیه‌سازی‌ها در دمای بهینه ۳۸/۶°C انجام شد.

شکل ۸ نشان می‌دهد که با افزایش نسبی ابعاد کوچکتر (یعنی ۰,۱ میلی‌متر) مطابق انتظار بازیابی مس بیشتر می‌شود. واکنش‌های لیچینگ کانی در ذرات ریزتر در مقایسه با ذرات درشت‌تر به میزان کمتری از نفوذ واکنش‌دهنده تاثیر می‌پذیرد. بنابراین سینتیک واکنش افزایش می‌یابد. در نتیجه، با افزایش نسبی ذرات ریزتر، بازیابی افزایش می‌یابد. لازم به ذکر است که در مقیاس توده، حضور ذرات بسیار ریز می‌تواند منجر به انسداد خلل و فرج شود؛ در نتیجه باعث کاهش نفوذ‌پذیری هیپ و کند شدن بازیابی مس می‌شود. ذرات کانسنگ اغلب آگلومنره می‌شوند تا از مهاجرت ذرات بسیار ریز در هیپ جلوگیری شود.



شکل ۸: اثر توزیع کلاس اندازه در انحلال مس بصورت نسبت جرمی (الف) یکسان، (ب) ۰,۷۵ mm، (ج) ۰,۰:۰، (د) ۰,۱ mm، (ه) ۰,۰:۰/۷۵ و (ی) ۰,۰:۰/۲۵ در دمای بهینه ۳۸/۶°C

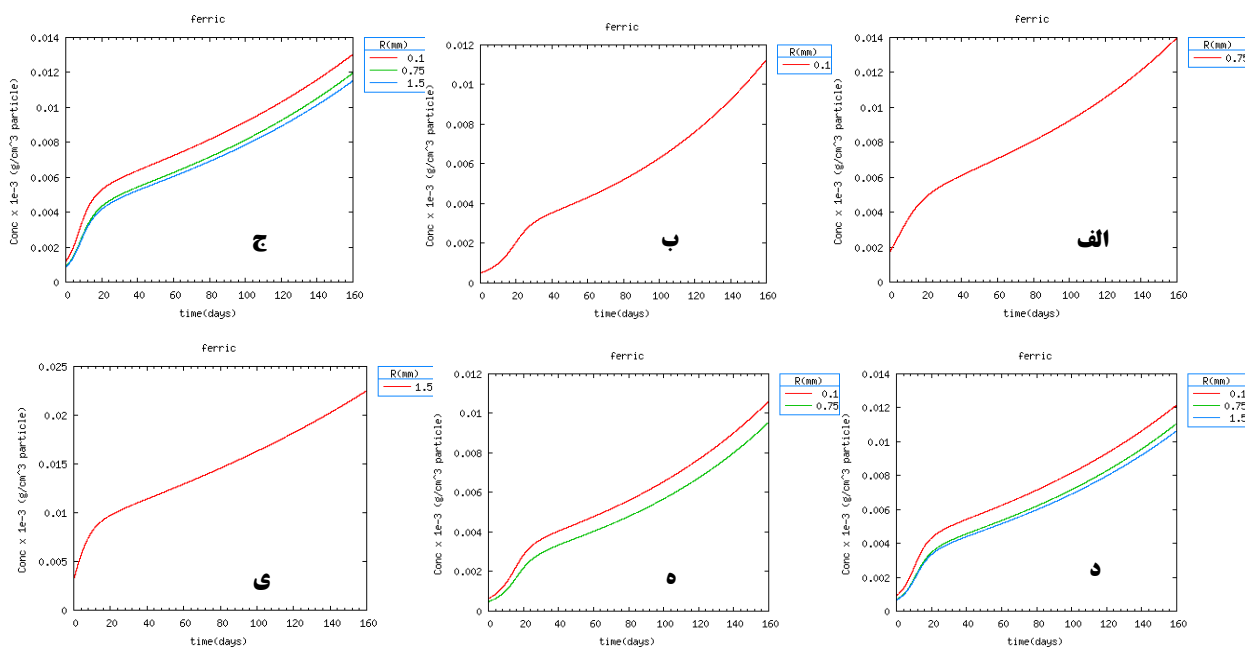
تر، میزان مصرف آهن سه‌ظرفیتی در ذرات ریزتر بیشتر می‌باشد. به عبارت دیگر نرخ کاهش غلظت نسبی آهن سه‌ظرفیتی در سطح ابعاد ریزتر بیشتر است. این موضوع، به‌طور واضح در شکل ۹ دیده می‌شود و غلظت آهن سه‌ظرفیتی در سطح ذرات را برای سه توزیع کلاس اندازه نشان می‌دهد.

در ۴۵°C، متوسط نرخ اکسایش باکتریایی آهن دوظرفیتی از نرخ در دمای بهینه ۳۸/۶°C غیر قابل تفکیک است. با این وجود، میزان بازیابی تجمعی مس در ۴۵°C کمتر از ۴۵°C است (شکل ۷). در ۴۵°C، نرخ واکنش کوولیت و پیریت بیشتر از ۳۸/۶°C است. این نرخ واکنش بالاتر منجر به رقابت بیشتر برای یون‌های آهن سه‌ظرفیتی در میان کانی‌ها می‌شود، و تبدیل کالکوسیت پائین می‌آید (مقایسه شکل ۷ (ج) و (د)). در مجموع ملاحظه می‌شود که بازیابی مس کاهش می‌یابد. تفسیر دیگر قابل بیان اینست که فرآیند کنترل کننده، حد واسط بوده و علاوه بر دما به نفوذ نیز وابسته است. از طرف دیگر، با افزایش دما از دمای بهینه، سینتیک کاتالیستی باکتری کاهش می‌یابد.

۲-۸- اثر توزیع کلاس اندازه

شکل ۸ نتایج شبیه‌سازی را در کلاس‌های اندازه ذره (شعاع ۰,۱، ۰,۷۵ و ۱,۵ mm) که بطور یکسان بصورت جرمی

در شکل ۹، اثر توزیع کلاس اندازه بر غلظت یون‌های آهن سه‌ظرفیتی در سطح ذره با توزیع‌های جرمی مختلف نشان داده شده است. وقتی نسبت بالایی از ذرات ریز باشد، نسبت آهن سه‌ظرفیتی به آهن دوظرفیتی توده کمترین است. با توجه به بالاتر بودن نسبی سطح مخصوص ذرات ریز تر نسبت به درشت



شکل: اثر توزیع کلاس اندازه در غلظت یون‌های آهن سه‌ظرفیتی در سطح ذره بصورت نسبت جرمی (الف) یکسان، (ب) ۱:۰:۰، (ج) ۰:۰:۰، (د) ۰:۰:۵، (۵) ۰:۰:۳۸/۶ در دمای بھینه 75°C و (۶) ۰:۰:۲۵/۰ در دمای بھینه 25°C

نتایج حساسیت سنجی موید صحت و دقت شبیه‌سازی فرآیند می‌باشند. شایان ذکر است که حساسیت سنجی برای پارامترهای نرخ جریان محلول، غلظت سوبستراٹ و رودی، پارامترهای انتقال جرم، ثابت نرخ آرنیوس، جمعیت باکتریایی و رودی، ماکریزم نرخ رشد باکتریایی، و حضور اکسیدکننده‌های سولفور نیز انجام شد که نتایج مؤید صحت مدل می‌باشند. به عبارت دیگر حساسیت سنجی عوامل مورد مطاله به نوعی اعتبار سنجی نتایج است.

شکل ۹ نشان می‌دهد که کمترین غلظت آهن سه‌ظرفیتی در سطح ذرات مربوط به زمانی است که ذرات ریز بالاترین نسبت وزنی (۱۰۰ درصد ذرات با ۱,۰ میلیمتر شعاع) را داشته باشند. در این حالت بیشترین غلظت آهن سه‌ظرفیتی در سطح ذرات مربوط به حالتی است که ۱۰۰ درصد ذرات با ۱,۵ میلیمتر شعاع (درشت‌ترین ابعاد) باشند. مقدار کمینه و بیشینه غلظت آهن سه‌ظرفیتی در سطح ذرات به ترتیب حدود ۰,۰۱۵ و ۰,۰۲۲ گرم بر متر مکعب حجمی سطح ذره بعد از ۱۶۰ روز از شبیه‌سازی می‌باشد.

چارچوبی برای یکپارچگی سیستماتیک فرآیندهای مقیاس ذره در داخل مدل‌های مقیاس توده، شامل کسر حجمی جامد (ذرات کانسنسنگ)، و کسر حجمی مایع (فازهای مایع در حال جریان و ساکن) توسعه یافته است. سینتیک مقیاس ذره به وسیله گروه‌بندی به کلاس‌های با اندازه‌های مختلف مدل شده است و رابطه واکنش - نفوذ برای هر کلاس اندازه محاسبه شده است. یک فرض منطقی برای فاز ساکن برای مقایسه مقیاس حد واسط با مقیاس توده در نظر گرفته شد. حل مدل‌های موجود با برنامه‌نویسی به روش سیمپسون انجام شد. صحت نتایج به کمک موازنۀ جرم در پایان شبیه‌سازی بررسی شد. معادلات دیفرانسیلی با مشتقات جزئی حاصله با استفاده از روش تفاضل محدود خطی‌سازی شدند.

۹. نتیجه‌گیری

هدف این مقاله شبیه‌سازی از طریق توسعه مدل ریاضی برای لیچینگ باکتریایی توده‌ای با توسعه مدل ترکیبی از مقیاس ذره تا توده است. این مدل شامل انتقال، فرآیندهای شیمیایی و باکتریایی در سطح توده‌ای ذرات (خوش‌ای) کانسنسنگ با اندازه مختلف می‌باشد. شبیه‌سازی‌های ریاضی به‌منظور بررسی انحلال مس بر روی کانسنسنگ حاوی کالکوسیت، کوولیت و پیریت در حضور و عدم حضور باکتری‌های اکسیدکننده در طی ۱۶۰ روز عملیاتی انجام شد. ذرات کانسنسنگ به سه کلاس اندازه به شعاع ۴۵، ۷۵ و ۱۰۵ mm با درصدهای وزنی به ترتیب ۳۵، ۲۰ و ۲۰ درصد طبقه‌بندی شدند. مدل المانی فرض شده

[8] Dixon, D., Hendrix, J.; 1993; "A general model for leaching of one or more solid reactants from porous ore particles". Metallurgical Transactions B Vol. 24: p. 157-169.

[9] Dixon, D.G.; 1996; "The multiple convolution integral: a new method for modeling multistage continuous leaching reactors". Chemical engineering science Vol. 51: p. 4759-4767.

[10] Dixon, D.G., Hendrix, J.L.; 1993; "A mathematical model for heap leaching of one or more solid reactants from porous ore pellets". Metallurgical Transactions B Vol. 24: p. 1087-1102.

[11] Dixon, D.G., Hendrix, J.L.; 1993; "Theoretical basis for variable order assumption in the kinetics of leaching of discrete grains". AIChE journal Vol. 39: p. 904-907.

[12] Casas, J.M., Vargas, T., Martínez, J., Moreno, L.; 1998; "Bioleaching model of a copper-sulfide ore bed in heap and dump configurations". Metallurgical and Materials Transactions B Vol. 29: p. 899-909.

[13] Sidborn, M., Casas, J., Martínez, J., Moreno, L.; 2003; "Two-dimensional dynamic model of a copper sulphide ore bed". Hydrometallurgy Vol. 71: p. 67-74.

[14] Ojumu, T., Petersen, J., Searby, G., Hansford, G.; 2006; "A review of rate equations proposed for microbial ferrous-iron oxidation with a view to application to heap bioleaching". Hydrometallurgy Vol. 83: p. 21-28.

[15] Petersen, J.; 2010; "Modelling of bioleach processes: connection between science and engineering". Hydrometallurgy Vol. 104: p. 404-409.

[16] Petersen, J., Dixon, D.; 2007; "Modelling zinc heap bioleaching". Hydrometallurgy Vol. 85: p. 127-143.

[17] Petersen, J., Dixon, D.G.; 2007; "Modeling and optimization of heap bioleach processes", Biomining, Springer, pp. 153-176.

[18] Sheikhzadeh, G., Mehrabian, M., Mansouri, S., Sarrafi, A.; 2005; "Computational modelling of unsaturated flow of liquid in heap leaching—using

حداکثر خطای نسبی در محاسبات موازنۀ جرم (برای تمام شبیه-سازی) کمتر از ۷٪ درصد بود. نتایج نشان داد که سینتیک انحلال کالکوسیت از کوولیت و کوولیت از پیریت بیشتر است. برای حالت باکتریایی میزان انحلال کالکوسیت در اندازه شعاع ذرات ۰,۱mm، ۰,۷۵mm و ۱mm به ترتیب ۱۰۰٪ (بعد از ۳۸ روز)، ۱۰۰٪ (بعد از ۱۱۰ روز)، و ۸۷٪ (بعد از ۱۶۰ روز) به دست آمد. در مورد کوولیت برای این اندازه ذرات در طی ۱۶۰ روز به ترتیب ۳۵ و ۱۸ درصد انحلال حاصل شد. میزان انحلال پیریت نیز ۲۴، ۳۳ و ۱۴ درصد به طور تقریبی ناشی از نتایج شبیه‌سازی محاسبه شد. حساسیت سنجی عواملی مانند دما و توزیع اندازه ذرات نیز بر روی پاسخ بررسی شد. نتایج شبیه‌سازی روند صحیحی با در نظر گرفتن توزیع اندازه ذره در بازیابی مس از خود نشان دادند. اساساً کار انجام گرفته زمینه‌ای برای تحقیقات آینده است.

مراجع

[1] Dixon, D.G.; 2003; "Heap leach modeling- the current state of the art", Hydrometallurgy 2003: 5 th International Symposium Honoring Professor Ian M. Ritchie, pp. 289-314.

[2] Cathles, L., Apps, J.; 1975; "A model of the dump leaching process that incorporates oxygen balance, heat balance, and air convection". Metallurgical Transactions B Vol. 6: p. 617-624.

[3] Davis, G., Ritchie, A.; 1986; "A model of oxidation in pyritic mine wastes: part 1 equations and approximate solution". Applied Mathematical Modelling Vol. 10: p. 314-322.

[4] Davis, G., Ritchie, A.; 1987; "A model of oxidation in pyritic mine wastes: part 3: import of particle size distribution". Applied mathematical modelling Vol. 11: p. 417-422.

[5] Pantelis, G., Ritchie, A.; 1991; "Macroscopic transport mechanisms as a rate-limiting factor in dump leaching of pyritic ores". Applied mathematical modelling Vol. 15: p. 136-143.

[6] Pantelis, G., Ritchie, A.; 1992; "Rate-limiting factors in dump leaching of pyritic ores". Applied Mathematical Modelling Vol. 16: p. 553-560.

[7] Bartlett, R.W.; 1992; "Simulation of ore heap leaching using deterministic models". Hydrometallurgy Vol. 29: p. 231-260.

- [28] McBride, D., Cross, M., Gebhardt, J.; 2012; "Heap leach modeling employing CFD technology: A 'process' heap model". Minerals Engineering Vol. 33: p. 72-79.
- [29] McBride, D., Gebhardt, J., Cross, M.; 2012; "A comprehensive gold oxide heap leach model: Development and validation". Hydrometallurgy Vol. 113: p. 98-108.
- [30] Gálvez, E.D., Moreno, L., Mellado, M.E., Ordóñez, J.I., Cisternas, L.A.; 2012; "Heap leaching of caliche minerals: Phenomenological and analytical models-Some comparisons". Minerals Engineering Vol. 33: p. 46-53.
- [31] Mellado, M.E., Casanova, M.P., Cisternas, L.A., Gálvez, E.D.; 2011; "On scalable analytical models for heap leaching". Computers & chemical engineering Vol. 35: p. 220-225.
- [32] Mellado, M.E., Cisternas, L.A.; 2008; "An analytical-numerical method for solving a heap leaching problem of one or more solid reactants from porous pellets". Computers & Chemical Engineering Vol. 32: p. 2395-2402.
- [33] Mellado, M.E., Cisternas, L.A., Gálvez, E.D.; 2009; "An analytical model approach to heap leaching". Hydrometallurgy Vol. 95: p. 33-38.
- [34] Mellado, M.E., Gálvez, E.D., Cisternas, L.A.; 2011; "On the optimization of flow rates on copper heap leaching operations". International Journal of Mineral Processing Vol. 101: p. 75-80.
- [35] Mellado, M.E., Gálvez, E.D., Cisternas, L.A.; 2012; "Stochastic analysis of heap leaching process via analytical models". Minerals Engineering Vol. 33: p. 93-98.
- [36] Zambra, C., Muñoz, J., Moraga, N.; 2015; "A 3D coupled model of turbulent forced convection and diffusion for heat and mass transfer in a bioleaching process". International Journal of Heat and Mass Transfer Vol. 85: p. 390-400.
- [37] Yaghobi Moghaddam, M.; 2010; "Optimization of the operational parameters for a copper bioleaching from heap 3 ore at Sarcheshmeh", Shahid Bahonar University of Kerman, Kerman, Iran.
- the results of column tests to calibrate the model". International Journal of Heat and Mass Transfer Vol. 48: p. 279-292.
- [19] Leahy, M., Davidson, M., Schwarz, M.; 2007; "A model for heap bioleaching of chalcocite with heat balance: mesophiles and moderate thermophiles". Hydrometallurgy Vol. 85: p. 24-41.
- [20] Leahy, M.J., Davidson, M.R., Schwarz, M.P.; 2005; "A model for heap bioleaching of chalcocite with heat balance: Bacterial temperature dependence". Minerals Engineering Vol. 18: p. 1239-1252.
- [21] Leahy, M.J., Schwarz, M.P., Davidson, M.R.; 2006; "An air sparging CFD model for heap bioleaching of chalcocite". Applied mathematical modelling Vol. 30: p. 1428-1444.
- [22] Bouffard, S.C.; 2008; "Application of the HeapSim model to the heap bioleaching of the Pueblo Viejo ore deposit". Hydrometallurgy Vol. 93: p. 116-123.
- [23] Bouffard, S.C., Dixon, D.G.; 2009; "Modeling pyrite bioleaching in isothermal test columns with the HeapSim model". Hydrometallurgy Vol. 95: p. 215-226.
- [24] Bouffard, S.C., Dixon, D.G.; 2009; "Modeling the performance of pyritic biooxidation heaps under various design and operating conditions". Hydrometallurgy Vol. 95: p. 227-238.
- [25] Vilcáez, J., Inoue, C.; 2009; "Mathematical modeling of thermophilic bioleaching of chalcopyrite". Minerals Engineering Vol. 22: p. 951-960.
- [26] Bennett, C., McBride, D., Cross, M., Gebhardt, J.; 2012; "A comprehensive model for copper sulphide heap leaching: Part 1 basic formulation and validation through column test simulation". Hydrometallurgy Vol. 127: p. 150-161.
- [27] Cross, M., Bennett, C., Croft, T., McBride, D., Gebhardt, J.; 2006; "Computational modeling of reactive multi-phase flows in porous media: Applications to metals extraction and environmental recovery processes". Minerals Engineering Vol. 19: p. 1098-1108.

temperature on the rates of iron and sulfur oxidation by selected bioleaching Bacteria and Archaea: application of the Ratkowsky equation". Minerals Engineering Vol. 18: p. 1304-1314.

[46] Zwietering, M., De Koos, J., Hasenack, B., De Witt, J., Van't Riet, K.; 1991; "Modeling of bacterial growth as a function of temperature". Applied and Environmental Microbiology Vol. 57: p. 1094-1101.

[47] Jaynes, D., Pionke, H., Rogowski, A.; 1984; "Acid mine drainage from reclaimed coal strip mines 2. Simulation results of model". Water Resources Research Vol. 20: p. 243-250.

[48] Jaynes, D., Rogowski, A., Pionke, H.; 1984; "Acid mine drainage from reclaimed coal strip mines 1. Model description". Water Resources Research Vol. 20: p. 233-242.

[49] Doulati Ardejani, F., Malakooti, S.J., Shafeai, S.Z., Shahhosseini, M.; 2014; "A numerical multi-component reactive model for pyrite oxidation and pollutant transportation in a pyritic, carbonate-rich coal waste pile in northern Iran". Mine Water and the Environment Vol. 33: p. 121-132.

[50] Doulati Ardejani, F., Singh, R., Baafi, E.; 2004; "Numerical modelling of ion-exchanging solute transport in groundwater systems". The PHOENICS Journal: Computational Fluid Dynamics & Its Applications Vol. 16: p. 18.

[51] Doulati Ardejani, F., Singh, R., Baafi, E.; 2004; "Use of PHOENICS for solving one dimensional mine pollution problems". The PHOENICS Journal of Computational Fluid Dynamics and its Applications Vol. 16: p. 1-23.

[38] Yaghobi Moghaddam, M., Asgari, A., Yazdani, H.; 2009; "Exact travelling wave solutions for the generalized nonlinear Schrödinger (GNLS) equation with a source by extended tanh-coth, sine-cosine and Exp-function methods". Applied Mathematics and Computation Vol. 210: p. 422-435.

[39] Yaghobi Moghaddam, M., Ranjbar, M., Manafi, Z., Schaffie, M., Jahani, M.; 2012; "Modeling and optimizing bacterial leaching process parameters to increase copper extraction from a low-grade ore". Minerals Engineering Vol. 32: p. 5-7.

[40] Dixon, D., Petersen, J.; 2004; "Modeling the dynamics of heap bioleaching for process improvement and innovation", Proceeding of the International Colloquium Hydrometallurgical on Processing of Copper Sulfides, pp. 13-45.

[41] Roman, R.J., Olsen, C.; 1974; "Theoretical scale-up of heap leaching", Solution Mining Symposium, AIME, pp. 211-229.

[42] Dixon, D., Petersen, J.; 2003; "Comprehensive modelling study of chalcocite column and heap bioleaching", Copper, pp. 493-516.

[43] Petersen, J., Dixon, D.; 2002; "Systematic modelling of heap leach processes for optimisation and design", EPD Congress 2002 and Fundamentals of Advanced Materials for Energy Conversion as held at the 2002 TMS Annual Meeting, pp. 757-771.

[44] Ratkowsky, D., Lowry, R., McMeekin, T., Stokes, A., Chandler, R.; 1983; "Model for bacterial culture growth rate throughout the entire biokinetic temperature range". Journal of bacteriology Vol. 154: p. 1222-1226.

[45] Franzmann, P., Haddad, C., Hawkes, R., Robertson, W., Plumb, J.; 2005; "Effects of

ⁱ Bulk Scale

ⁱⁱ GNU Plot

ⁱⁱⁱ Scipy